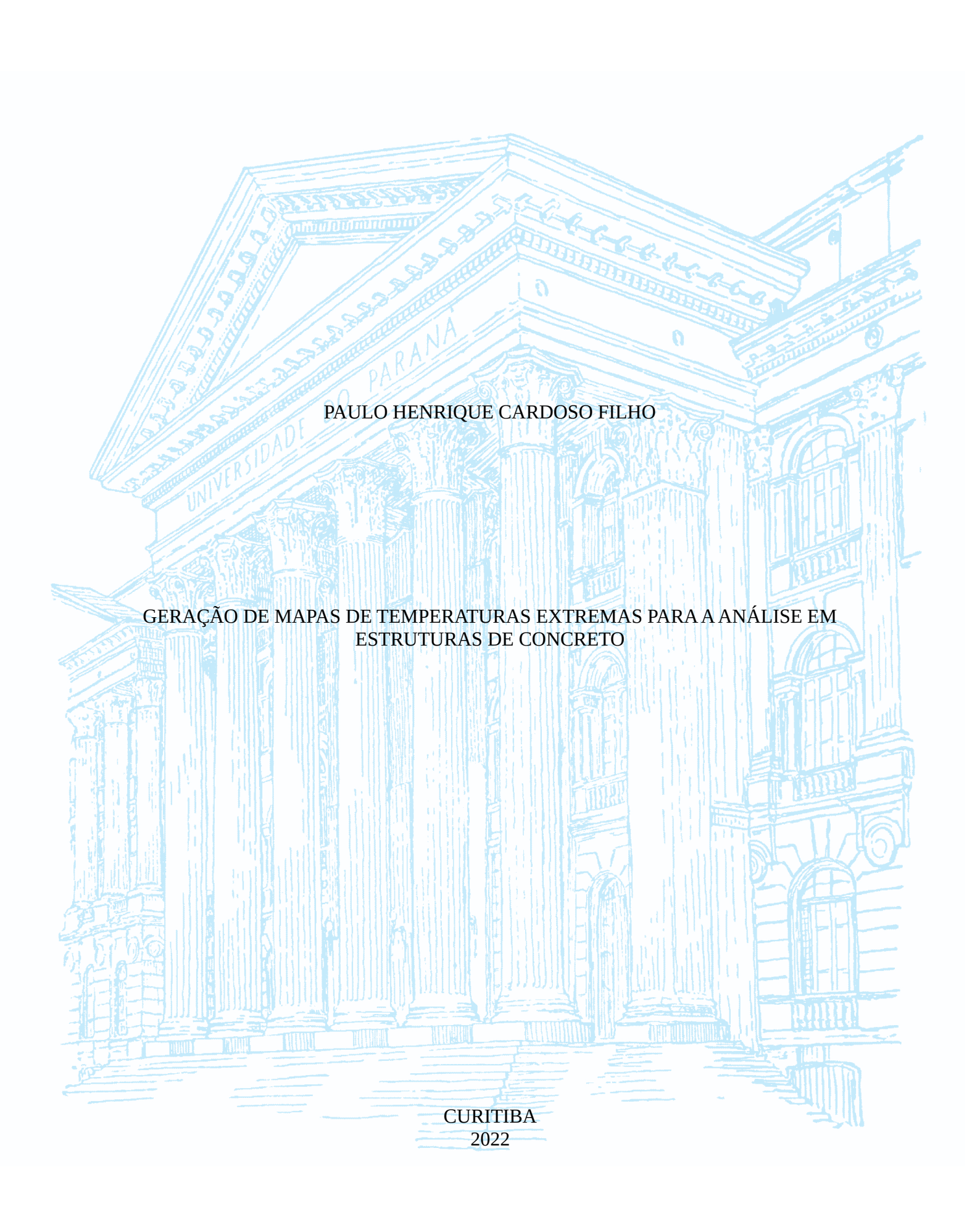
UNIVERSIDADE FEDERAL DO PARANÁ



PAULO HENRIQUE CARDOSO FILHO

GERAÇÃO DE MAPAS DE TEMPERATURAS EXTREMAS PARA A ANÁLISE EM ESTRUTURAS DE CONCRETO

Trabalho de conclusão de curso apresentada ao Curso de Graduação em Engenharia Cartográfica e de Agrimensura, Setor de Ciências da Terra, da Universidade Federal do Paraná, como requisito parcial à obtenção do título de Bacharel em Engenharia Cartográfica e de Agrimensura.

Orientador(a): Prof(a). Dr(a). Luciene Stamato Delazari



Universidade Federal do Paraná Setor de Ciências da Terra Engenharia Cartográfica e de Agrimensura

TERMO DE APROVAÇÃO

PAULO HENRIQUE CARDOSO FILHO

GERAÇÃO DE MAPAS DE TEMPERATURA PARA AUXÍLIO A ANÁLISES DE DEFORMAÇÃO DE ESTRUTURAS

O Trabalho de Conclusão de Curso apresentado ao Curso de Graduação em Engenharia

Car	ográfica e de Agrimensura, Setor de Ciências da Terra da Universidade Federal do Paraná,
foi _	APPOVA como requisito à obtenção do título de Bacharel em Engenharia
Carl	ográfica e de Agrimensura.
	Lucieu S. Dlozai
	Prof ^a Dr ^a . Luciene Stamato Delazari
	Orientador(a) – Departamento de Geomática, UFPR
	allur.
	Prof Dr. Legiardo Ercolin Filho
	Departamento de Geomática, UFPR
	Juan Mour
	Prof. Dr. Amacin Rodrigues Moreira
	Departamento de Construção Civil LITEPR

Msc. Marciano da Costa Llma

Doutorando no Programa de Pós Graduação em Ciências Geodésicas, UFPR

Curitiba, 14 de setembro de 2022.

AGRADECIMENTOS

A toda minha família pelo suporte, especialmente aos meus pais pelo amor e carinho durante toda a minha vida, permitindo o alcance de todos os meus objetivos.

À Diana, minha namorada, por ser minha inspiração e por estar sempre ao meu lado em qualquer situação, obrigado por ser sempre meu raio de sol.

À minha orientadora, Professora Dr. Luciene Stamato Delazari, pelo auxílio e suporte durante todo período de TCC, permitindo que o trabalho fosse realizado com maestria.

Ao Amacin, por todo o suporte dos mapas e ensinamento durante esse processo.

Aos professores do curso de Engenharia Cartográfica e de Agrimensura, por todo conhecimento entregue por eles.

A todos os meus amigos, por estarem comigo durante todo o curso. Ao Bruno Calefi, por estar nessa jornada desde do início comigo. Ao André Buckmann por me ajudar e estar comigo durante todo curso. Minas Marcarov, Lucas Soero e Gabriel W... obrigado por todas as risadas durante esse último semestre, fizeram ele ficar mais leve.

À Sanepar, Engefoto e PEC Energia por todo o conhecimento profissional e pessoal obtidos.

Ao João Borges e Rogério Konofal, em tão pouco tempo, proporcionar tanto conhecimento e um ambiente de trabalho leve e empoderador.



RESUMO

Atualmente, os mapas de temperatura estão presentes em diversas áreas da ciência e engenharia, sendo uma ferramenta importante para análises e estudo, como por exemplo, análises termais em relação superfície ou análises de estruturas de concreto na construção civil. Estas análises permitem observar o quando uma estrutura é afetada pela variação de temperatura. Mas ocorre uma lacuna em relação a essas informações pois não existem estudos realizados que considerem as variações de temperatura no Brasil. A NBR6118:2014, é uma norma que fornece informações sobre a variação de temperatura em estruturas de concreto, mas apresenta lacunas que impede estudos mais precisos, sendo assim, foram gerados mapas de temperaturas máximas em mínimas com base em dados meteorológicos disponibilizados pelo Instituto Nacional de Meteorologia (INMET). Para a geração desses produtos, utilizou-se de um procedimento contendo os dados de 771 estações espalhadas por todo país durante um período de 30 anos (1991-2021), consistindo em tratar toda essa informação para se obter os valores de recorrência de temperaturas dos próximos 50 e 100 anos, gerando mapas que foram obtidos através de interpolação IDW e estrutura de dados TIN. Por fim, os mapas gerados foram disponibilizados em ambiente web. Ao final do trabalho, foi constatado que a estrutura de dados TIN apresentou o melhor resultado para a geração do produto, sendo significante para análises e interpretações e para a geração de novos projetos.

Palavras-chave: 1. NBR 2. Mapas de temperatura 3. Interpolação

LISTA DE FIGURAS

Figura 1: TEMPERATURA GLOBAL	16
Figura 2:ETAPAS DO TRABALHO	20
Figura 3: REGIÃO DE ESTUDO	21
Figura 4: ESTAÇÃO METEOROLÓGICA AUTOMÁTICA	23
Figura 5: ESTACÕES PELO BRASIL	
Figura 6: GRÁFICO DE FREQUÊNCIA – EXEMPLO DE CURVA DE DISTRIBUIÇÃO	
NORMAL	25
Figura 7: EXEMPLO DE CURVA - DISTRIBUIÇÃO DE GUMBEL	26
Figura 8: EXEMPLO DE CURVA -DISTRIBUIÇÃO DE WEIBULL	26
Figura 9: EXEMPLO DE CURVA - DISTRIBUIÇÃO GEV - CHEIAS ANUAIS	
Figura 10: EXEMPLO DE CURVA -DISTRIBUIÇÃO EV2	
Figura 11: MAPA DE TEMPERATURA INTERPOLADA - ÁFRICA DO SUL	29
Figura 12: INTERPOLAÇÃO IDW	30
Figura 13: ESTRUTURA DE DADOS TIN	31
Figura 14: DADOS DE DOWNLOAD DAS ESTAÇÕES AUTOMÁTICAS E CONVENCION	
Figura 15: DADOS DE IDENTIFICAÇÃO DA ESTAÇÃO	
Figura 16: DADOS DE MÁXIMO E MÍNIMO	
Figura 17: GRÁFICO DAS LEITURAS FEITAS EM PORTO ALEGRE (RS)	
Figura 18: TEMPERATURAS MÉDIAS DE MÁXIMA E MÍNIMA (A807 – Curitiba)	
Figura 19: ESTAÇÃO DEFINIDA COMO DESATIVADA	
Figura 20: PERÍODO SEM LEITURA NA ESTAÇÃO CURITIBA (A807)	37
Figura 21: DADOS NA MESMA ÉPOCA DE ESTAÇÕES CONVENCIONAIS E	20
AUTOMÁTICAS	
Figura 22: TABELA INSERIDA NO SOFTWARE HYDROGNOMOM	
Figura 23: PONTOS AZUIS DEMONSTRANDO CADA ANO	
Figura 24: CURVAS DE DISTRIBUIÇÃO DE DADOS	
Figura 25: VERIFICAÇÃO DE QUALIDADE (ESTAÇÃO A807 - CURITIBA)	
Figura 26: PREVISÃO DE FUTURAS TEMPERATURAS	
Figura 27: TEMPERATURAS MÁXIMAS NOS PRÓXIMOS 50 ANOS	
Figura 28: VERIFICAÇÃO DE QUALIDADE DAS TEMPERATURAS MÍNIMAS (A802 - F	
GRANDE)Figura 29: VALOR DE TEMPERATURA MÍNIMA PARA 50 ANOS	
Figura 30: DADOS DAS ESTAÇÕES DA REGIÃO NORTE	46
Figura 31: INSERÇÃO DE DADOS NO QGIS	40
Figura 32: PARÂMETROS IDWFigura 33: PARÂMETROS DE EXTENSÃO	4/
Figura 33: PARAMETROS DE EXTENSAOFigura 34:TEMPERATURA MÁXIMA PARA TEMPO DE RECORRÊNCIA DE 100 ANOS I	40 \T A
REGIÃO SULFigura 35:GERAÇÃO DAS CURVAS DE NÍVEL	49
Figura 36: TEMPERATURA MÁXIMA PARA TEMPO DE RECORRÊNCIA DE 100 ANOS	
REGIÃO SUL	INA 51
Figura 37:TEMPERATURA MÍNIMA PARA TEMPO DE RECORRÊNCIA DE 100 ANOS N	ΣΙ
REGIÃO SUL	
Figura 38: PARÂMETROS TIN	52
Figura 39: TEMPERATURA MÁXIMA PARA TEMPO DE RECORRÊNCIA DE 50 ANOS N	
REGIÃO SULFigura 40: FUNÇÃO DE SUAVIZAÇÃO DE CURVA DE NÍVEL	55
Figura 41:TEMPERATURA MÁXIMA PARA TEMPO DE RECORRÊNCIA DE 50 ANOS N	Α
REGIÃO SUL	56

Figura 42: INTERFACE E AS CAMADAS DISPONÍVEIS	57
Figura 43: REPRESENTAÇÃO DO POP-UP NO GEOSSERVIÇO	58
Figura 44:TEMPERATURA MÁXIMA PARA TEMPO DE RECORRÊNCIA DE 50 ANOS NA	-
REGIÃO NORDESTE TEMPERATURA MÍNIMA PARA TEMPO DE RECORRÊNCIA DE 50)
ANOS NA REGIÃO NORDEST	
ANOS NA REGIÃO NORDEST	
REGIAO NORDESTE	67
Figura 46: TEMPERATURA MÍNIMA PARA TEMPO DE RECORRÊNCIA DE 100 ANOS NA	A
REGIÃO NORDESTEFigura 47: TEMPERATURA MÁXIMA PARA TEMPO DE RECORRÊNCIA DE 100 ANOS N.	68
Figura 47: TEMPERATURA MÁXIMA PARA TEMPO DE RECORRÊNCIA DE 100 ANOS N.	A
REGIÃO NORDESTE	69
Figura 48:TEMPERATURA MÁXIMA PARA TEMPO DE RECORRÊNCIA DE 50 ANOS NA	
REGIÃO SUDESTE	70
REGIÃO SUDESTE	
REGIÃO SUDESTEFigura 50:TEMPERATURA MÁXIMA PARA TEMPO DE RECORRÊNCIA DE 100 ANOS NA	71
Figura 50:TEMPERATURA MAXIMA PARA TEMPO DE RECORRENCIA DE 100 ANOS NA	4
REGIÃO SUDESTE	72
Figura 51: TEMPERATURA MÍNIMA PARA TEMPO DE RECORRÊNCIA DE 100 ANOS NA	
REGIÃO SUDESTE	
Figura 52: TEMPERATURA MÁXIMA PARA TEMPO DE RECORRÊNCIA DE 50 ANOS NA	L
REGIÃO NORTEFigura 53: TEMPERATURA MÍNIMA PARA TEMPO DE RECORRÊNCIA DE 50 ANOS NA	74
Figura 53: TEMPERATURA MINIMA PARA TEMPO DE RECORRENCIA DE 50 ANOS NA	
REGIÃO NORTE	75
Figura 54: TEMPERATURA MÁXIMA PARA TEMPO DE RECORRÊNCIA DE 100 ANOS N	
REGIÃO NORTE	/6
Figura 55: TEMPERATURA MÍNIMA PARA TEMPO DE RECORRÊNCIA DE 100 ANOS NA	1
REGIÃO NORTE	//
Figura 56: TEMPERATURA MÁXIMA PARA TEMPO DE RECORRÊNCIA DE 50 ANOS NA	70
REGIÃO CENTRO-OESTE	/8
Figura 57: TEMPERATURA MÍNIMA PARA TEMPO DE RECORRÊNCIA DE 50 ANOS NA	70
REGIÃO CENTRO-OESTE	79
Figura 58: TEMPERATURA MÁXIMA PARA TEMPO DE RECORRÊNCIA DE 100 ANOS N.	
REGIÃO CENTRO-OESTEFigura 59: TEMPERATURA MÍNIMA PARA TEMPO DE RECORRÊNCIA DE 100 ANOS NA	80
REGIÃO CENTRO-OESTEFigura 60: TEMPERATURA MÁXIMA PARA TEMPO DE RECORRÊNCIA DE 50 ANOS NA	81
REGIÃO SULFigura 61: TEMPERATURA MÍNIMA PARA TEMPO DE RECORRÊNCIA DE 50 ANOS NA	02
REGIÃO SULFigura 62: TEMPERATURA MÁXIMA PARA TEMPO DE RECORRÊNCIA DE 100 ANOS N.	05
REGIÃO SULFigura 63:TEMPERATURA MÍNIMA PARA TEMPO DE RECORRÊNCIA DE 100 ANOS NA	04
REGIÃO SUL	
REGIAU SUL	05

LISTA DE GRÁFICOS

Gráfico 1: TENDÊNCIA - ESTAÇÃO A807	36
Gráfico 2: DESVIO PADRÃO e MÉDIA	
Gráfico 3: QUALIDADE DAS INFORMAÇÕES GERADAS PELAS DISTRIBUIÇÕES	

LISTA DE ABREVIATURAS OU SIGLAS

ABNT - Associação Brasileira De Normas Técnicas

NBR - Norma Brasileira

INMET - Instituto Nacional De Meteorologia

UMB - University of Maryland Baltimore

TIN - Triangulated Irregular Network

IDW - Inverse Distance Weighting

WGS-84 - World Geodetic System of 1984

SIRGAS 2000 - Sistema de Referência Geocêntrico para as Américas

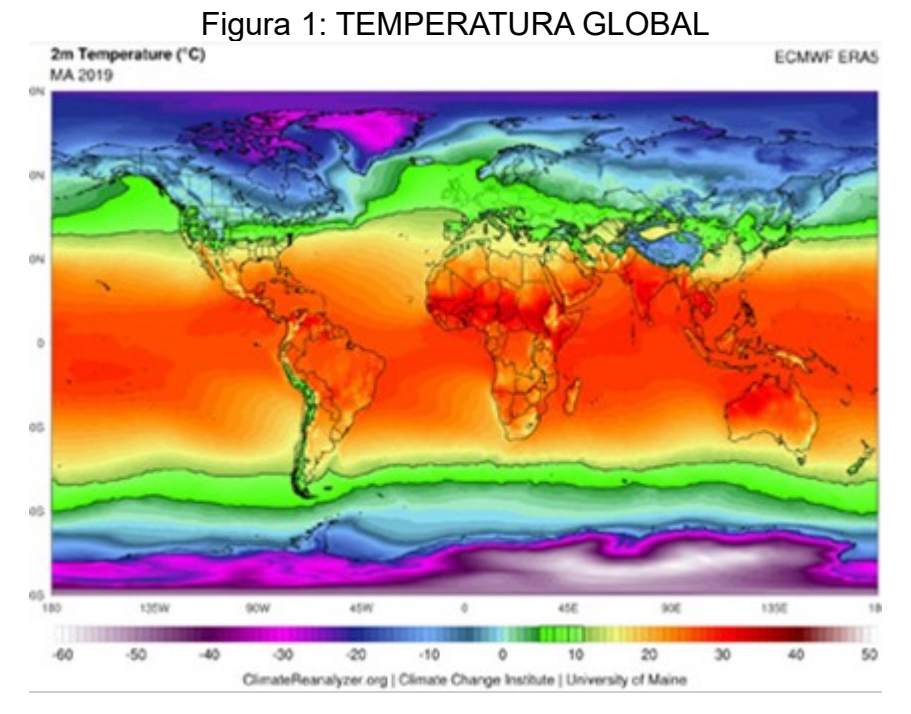
SUMÁRIO

1. INTRODUÇÃO	16
1.1 JUSTIFICATIVA	18
1.2 OBJETIVOS	19
1.2.1 Objetivo geral	
1.2.2 Objetivos específicos	
2. METODOLOGIA	20
2.1 REGIÃO DE ESTUDO	21
2.2 SOFTWARES	
2.3 DADOS	
2.4 PRÉ-PROCESSAMENTO DE DADOS	24
2.5 GERAÇÃO DOS MAPAS DE TEMPERATURA	28
3. RESULTADOS	32
3.1. TRATAMENTO DOS DADOS NO EXCEL	
3.2 GERAÇÃO DOS DADOS DE TEMPERATURA	46
3.2.1 Escolha do interpolador	47
3.2.1.1 Inverse Distance Weighted- IDW	
3.2.1.2 Triangular Irregular Network - TIN	53
3.2.1.2.1 Geração de Curvas de Temperatura - TIN	54
3.3 PUBLICAÇÃO DOS DADOS NA WEB	
4. CONSIDERAÇÕES FINAIS	
REFERÊNCIAS BIBLIOGRÁFICAS	61
APÊNDICE - MAPAS DE TEMPERATURA PARA AS REGIÕES DO BRASIL	66

1. INTRODUÇÃO

Atualmente, é cada vez mais importante e indispensável dispor de informações para realizar diversas análises, como estudos referentes a temperatura, que são de extrema importância para um país de dimensão continental como o Brasil com temperaturas variando de -5°C até 45°C.

Como exemplo de análises relacionadas à variação da temperatura, pode-se mencionar o caso do mapa de temperatura para estudos referentes à COVID-19, disponibilizado pela UNIVERSITY of MARYLAND BALTIMORE (UMB). Esse estudo é baseado na sazonalidade em que a SARS-COV-2 é difundida pelo planeta. Com uma análise publicada pela Social Sciences Research Network, (Figura 1), é possível entender a partir do estudo que o vírus se espalha em uma velocidade muito superior em regiões que apresentam temperaturas entre 5 e 10°C e umidades relativas de 50% a 80%. De acordo com a UMB (2022), as semelhanças entre as temperaturas de diversas cidades, condiz com o surgimento de epicentros nas mesmas. Para o mapa de calor utilizado nesse estudo, não foi indicado qual interpolador usado para a geração.



Fonte: <u>UMB</u> , 2020

Os estudos referentes à temperatura abrangem diversas aplicações. Assim, pode-se citar ainda a utilização do infravermelho termal na análise temporal da temperatura de superfície e ilhas de calor. Consistindo em analisar o quanto que a temperatura de superfície varia em todo município de Santa Maria – RS em um período de 20 anos, utilizando imagens de satélites e bases de temperatura (Trindade, Saldanha e Pereira Filho, 2017).

Uma área de grande importância e ainda pouco explorada em estudos no Brasil, está relacionada a estudos na área de engenharia para verificar a influência da variação de temperatura na construção civil, mais especificamente em estruturas de concreto, sendo utilizados em pontes, edifícios e outras estruturas que necessitem desse material e em variáveis de deslocamento e rotações de esforços solicitantes ¹(Moreira, Amacin. 2022). Fatores como dimensionamento de juntas, tração e fissuras dependem dessa análise, visto que a variação da temperatura não é constante (Moreira, 2022).

Segundo a NBR 6118 (ABNT, 2014) que trata do projeto de estruturas de concreto, as ações que geram os esforços podem ser originadas de diversas formas, como: cargas acidentais, cargas permanentes, carga de vento, variações uniformes de temperatura, variações não uniformes de temperatura. Em relação a efeitos térmicos provocados em estruturas, a variação de temperatura interna e externa do edifício, além de prejudicar as características intrínsecas dos materiais estruturais, gera deformações e esforços adicionais (Queiroz e Caetano, 2021).

Atualmente, as análises são feitas com base em dados tabulares obtidos por meio de estações do INMET (Instituto Nacional de Meteorologia) espalhadas por todo país. Assim, somente por meio dos dados tabulares não é possível verificar qual a variação da temperatura em uma determinada região. Deste modo, este trabalho busca atender às necessidades de usuários da área de engenharia civil, que necessitam de auxílio no objetivo de realizar análises sobre a variação da temperatura em escalas regionais ou macrorregionais (Brasil) para verificar sua influência em estruturas como pontes e edifícios, por exemplo.

Em relação a geração dos mapas, existem alguns estudos que são referentes a importância que a alta densidade amostral o tipo de interpolador são influentes na elaboração de mapas temáticos, como comentado por Coelho e Souza (2009), em que foi feita uma avaliação sobre essas influências dos dados.

¹ Informações obtidas por comunicação pessoal

1.1 JUSTIFICATIVA

Os mapas de temperatura podem ser utilizados para o uso nas áreas de análise de estruturas de concreto, que de acordo com a NBR 6118 (ANBT, 2014) é estabelecido um vínculo entre estruturas e o ambiente à sua volta, existindo algumas variações de temperaturas na estrutura que devem ser respeitadas. Entretanto, de acordo com a norma não existem estudos específicos e somente existe um valor unitário de temperatura para todo o país, sendo que as variações de temperatura ao longo do Brasil são significativas.

A norma brasileira NBR (6118:2014) apresenta os requisitos básicos para o projeto de obras de concreto, estabelecendo alguns aspectos sobre a qualidade do concreto a ser utilizado. De forma geral essa norma estabelece a relação entre a qualidade do concreto e o ambiente de exposição em que ele está presente, levando em considerações informações como umidade, ambiente quimicamente agressivos (tanques industriais, indústria química) e temperatura.

Em relação à temperatura, o item de número 11.4.2.1 e o item de número 11.4.2.2 dessa mesma norma comentam sobre as variações de temperaturas uniformes e não uniformes da estrutura. Segundo a NBR (6118:2014, p.63), a variação uniforme leva em consideração a variação da temperatura atmosférica e a insolação direta, de forma que a oscilação de temperatura da estrutura causada por essa variação pode variar de 5°C a 10°C e de 10° a 15°C, dependendo do tipo de estrutura utilizada. Já a variação não uniforme leva em consideração a não uniformidade da distribuição de temperatura sobre qualquer estrutura, adotando-se um valor maior que 5°C de oscilação devido a maior parte, por falta de dados mais precisos de temperatura, como exemplo, em regiões da Europa e América do Norte os estudos referentes à temperatura são utilizados e implementados desde 2002 (Souza; Dimova e Pinto, 2016).

Dessa forma, é necessária a geração de mapas para o território brasileiro, visto que temos um país de proporção continental e com grandes variações de temperatura por todo seu território.

Ao se utilizar destes dados (mapas interpolados de temperatura) espera-se que seja fornecido um instrumento que possa contribuir em aspectos de projetos estruturais na construção civil.

1.2 OBJETIVOS

1.2.1 Objetivo geral

Gerar mapas de variação de temperatura para as regiões do Brasil e analisar os processos para geração dos mesmos, de modo que seja um auxílio atualmente em estudos de construção civil.

1.2.2 Objetivos específicos

- Coletar e adequar dados de temperatura máximas e mínimas de cada região do país;
- Realizar análise estatística para validação dos dados;
- Interpolação dos dados provenientes da análise estatística;
- Disponibilizar os dados em um ambiente web.

2. METODOLOGIA

O trabalho foi dividido em etapas relativas como área de estudo, obtenção dos dados, processamento dos dados e geração com disponibilização dos mapas. A Figura 2 apresenta o esquema das atividades realizadas ao longo do trabalho.

4. Escolha dos 1. Definição do 3.Obtenção dos 2.Definição da softwares para área de estudo objetivo dados processamento 6.Análise 8.Geração do mapa 7.Escolha do 5. Processamento estátistica dos de temperatura interpolador dos dados resultados 9.Disponibilização dos mapas na Web

Figura 2:ETAPAS DO TRABALHO

Fonte: Autor, 2022

2.1 REGIÃO DE ESTUDO

Como dito anteriormente, a área de estudo a ser utilizada do trabalho em questão é o Brasil, sendo que as análises serão realizadas em regiões (Norte, Sul, Sudeste, Centro-Oeste e Nordeste), sendo apresentados na Figura 3. Tal subdivisão política foi adotada em função da própria extensão do Brasil e para permitir que as análises possam ser feitas de forma regionalizada.



Fonte: Autor, 2022

2.2 SOFTWARES

Para o trabalho em questão, utilizou-se os seguintes programas para o desenvolvimento:

 HYDROGNOMOM, versão 4.1.0.26, um software livre para fazer análise estatística e gerar os dados para o software GIS, disponível para download em (http://hydrognomon.org);

- QGIS, versão 3.18.3, usado para tratamento dos dados e geração do produto final, disponível para download em (https://qgis.org/pt_BR/site/);
- EXCEL, para o tratamento dos dados provenientes das estações de temperatura.

2.3 DADOS

Para esse trabalho, utilizaram-se os dados provenientes de estações meteorológicas INMET (https://bdmep.inmet.gov.br/) (Instituto Nacional de Meteorologia). Este instituto tem como atribuições promover estudos, elaborar e divulgar previsões sobre a meteorologia, executando levantamentos em diversas áreas da agricultura e previsões do tempo (INMET, 2022)

A coleta das informações referentes às temperaturas mínimas e máximas diárias é feita a partir de um banco de dados, fazendo a seleção das informações desejadas, que são apresentadas em formato tabular. São disponibilizadas pelo INMET três tipos de estações: as estações meteorológicas de sondagem, estações de superfície convencionais e automáticas. As duas últimas são as utilizadas para o trabalho em questão, levando em consideração a temperatura do ar à sombra. Foi considerado o período de trinta anos para a obtenção dos dados, de 1991 até 2021, utilizando dados de 20 anos de estações automáticas, mas com o auxílio de dados de 30 anos de estações convencionais. É importante entender que em muitos casos não existe a disponibilização dos 30 anos de dados, sendo assim são considerados dados das estações convencionais nessa coleta.



Figura 4: ESTAÇÃO METEOROLÓGICA AUTOMÁTICA

Fonte: Nota Técnica n°001/2011, INMET (2011)

O banco de dados do INMET já incorpora informações diárias coletadas de estações desde 1961, mas com uma ampliação de estações a partir de 1990 (Moreira, 2022). É possível obter dados de estações de temperatura de todas as regiões do país, visto que as estações estão espalhadas pela grande maioria dos estados.

Na Figura 5, são apresentadas as estações automáticas e convencionais pela cor laranja, podendo assim visualizar a distribuição não homogênea de estações, sendo as regiões Sul e Sudeste as que apresentam maior volume de estações.



Fonte: Autor, 2022

2.4 PRÉ-PROCESSAMENTO DE DADOS

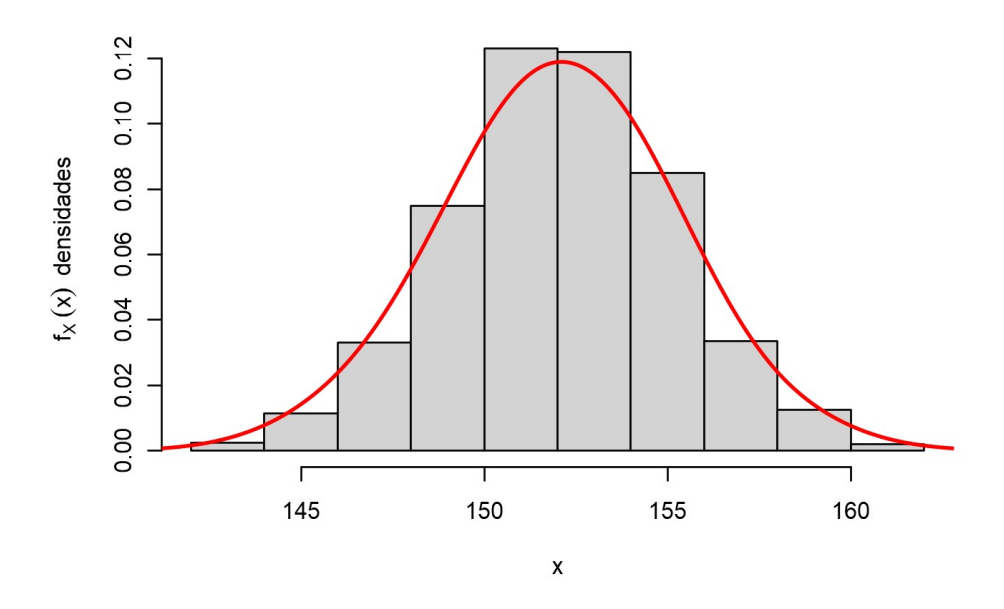
Após a coleta os dados passam por uma análise preliminar, sendo calculados os valores médios máximos e mínimos para cada estação em relação ao período de tempo estabelecido para a análise. Em seguida, os dados são inseridos no software Hydrognomon. O software é de acesso livre, sendo disponibilizado pela NTUA (National Technical University of Athens) e desenvolvido pelo Departamento de Águas e Engenharia Ambiental da mesma.

Este software apresenta como objetivo principal realizar análises e o processamento de dados referentes a hidrologia no quesito das séries temporais, atendendo os objetivos e atividades da NTUA. De acordo com Kozanis, Christofides e Efstratiadis (2005) esse software permite fazer análises das amostragens, funções de distribuições e análises de eventos extremos, sendo importante mencionar que devido ao tempo de lançamento o software aparenta não receber atualizações e suporte. A versão instalada do software foi a 4.1.0.26.

O software utiliza algumas distribuições estatísticas para a validação dos dados. Com elas, verifica-se os dados inseridos atendem ao critério de qualidade apresentado pelo software, que é até 90% de confiança. Ressalta-se que a análise é feita de forma visual também, como auxílio, de forma a verificar qual a distribuição se encaixa melhor na curva de temperatura para cada estação. As distribuições são: Normal, Gumbel, Weibull, EV2 e GEV.

 Distribuição Normal: A distribuição normal é uma distribuição conhecida como Gaussiana. É apresentada por uma curva simétrica em torno do ponto médio (USP, 2017). Nessa determinada distribuição existem dois parâmetros, que são a média (μ) e a variância (σ2>0), de modo que a média é o ponto médio e a variância sua dispersão.

Figura 6: GRÁFICO DE FREQUÊNCIA – EXEMPLO DE CURVA DE DISTRIBUIÇÃO NORMAL



Fonte: UFSC, (2022)

• Distribuição de Gumbel: Essa distribuição consiste em modelagens de picos de máximos e mínimos de um conjunto de amostras qualquer e de um determinado número de distribuições, estando relacionado com a teoria dos valores extremos (Borges, 2022). Essa teoria consiste em avaliar a partir de uma amostra e uma variável aleatória, a probabilidade de ocorrer um evento extremo. Abaixo na Figura 7 pode-se verificar um exemplo da distribuição de Gumbel:

Fonte: Stringerfixer, (2022)

 Distribuição de Weibull: A distribuição de Weibull, é uma distribuição eficaz na determinação de características e tendências, sendo importante em alguns casos para avaliar a probabilidade de falha de uma determinada amostra (F2SM,2022). Normalmente um gráfico em uma distribuição Weibull é dado por uma reta, como pode-se visualizar na Figura 8:

Figura 8: EXEMPLO DE CURVA - DISTRIBUIÇÃO DE WEIBULL

Webull

Webull Data

Fonte: F2SM, (2022)

Distribuição GEV: A distribuição de GEV, conhecida como distribuição de probabilidade generalizada de valores extremos (Manoel e Fazal, 2006; p-2) é uma distribuição que combina 3 tipos de distribuições de valores extremos em uma única forma, sendo bem utilizada para em alguns campos. Na prática, esse tipo de distribuição é usada para a modelagem de uma extensa variedade de extremos naturais, como temperatura, ventos, chuvas (Martins & Stedinger, 2000; Queiroz, 2002). Englobam-se três distribuições de valores extremos, conhecidos como tipo I (VEI), tipo II (VEII) e tipo III (VEIII) (Fisher & Tippett, 1928; Gumbel, 1958), abaixo, na Figura 09, podemos fazer uma breve visualização, sendo *k* uma condição:

DISTRIBUIÇÃO GEV - CHEIAS ANUAIS 6000 5000 VEII - k < 0VEI - k = 04000 3000 2000 1000

Figura 9: EXEMPLO DE CURVA -

Fonte: Manoel & Fazal (2006)

Distribuição EV2: Por último a distribuição EV2, conhecida também como Fréchet ou Weibull Inversa. É usada normalmente para a também modelagem de valores extremos e também na modelagem de uma ampla gama de fenômenos físicos. Essa distribuição apresenta 3 parâmetros, que são referentes à forma, escala e localização, representados por σ , λ e μ (Glen, 2016). Essa notação pode ser diferente, mas apresentam o mesmo conteúdo. Abaixo, na Figura 10, pode-se verificar exemplo de representação gráfica de uma distribuição Fréchet com uma forma (σ) de 1,5 e escala (λ) de 1,0:

OT Supplemental Su

Figura 10: EXEMPLO DE CURVA - DISTRIBUIÇÃO EV2

Fonte: UFCG (2013)

Os dados de entrada no Hydrognomon são inseridos de forma manual, o que é uma limitação, visto que o software não apresenta a inserção de dados automaticamente.

Com os dados inseridos, seleciona-se o menu (Hydrology), no qual existe a opção (Phytas). Essa opção (Phytas) é uma função para análises estatísticas, de modo que ao inserir os dados e selecionar o tipo de distribuição utilizada, são feitas análises de acordo com as distribuições escolhidas.

Para se obter os dados de saída, que são as temperaturas, escolhe-se a previsão anual de retorno dos dados, que para esse trabalho seria 50 e 100 anos (50 anos recomendado pela Eurocode e 100 anos como modelo utilizado pelas normas de estruturas no Brasil), tendo como resposta a previsão de temperatura para todas as funções disponíveis. Este procedimento foi realizado para cada estação.

2.5 GERAÇÃO DOS MAPAS DE TEMPERATURA

Por meio de tabelas em formato .csv, foram inseridas os dados contendo as informações referentes à temperatura de cada estação, sendo separadas por região.

Essa planilha apresenta colunas onde se encontram as coordenadas geográficas em grau decimal de uma determinada estação, contendo sua latitude, longitude e altitude, além da informação de temperatura (Figura 14).

O sistema de referência utilizado foi o SIRGAS 2000 / Brazil Polyconic (EPSG:5880), pois esse sistema de referência, de acordo com o IBGE (2022) é recomendado para análises com extensões métricas. Para a geração dos mapas de temperatura, foi utilizado o software QGIS para, a partir dos pontos com valores de temperatura, gerar as superfícies de temperatura. Para gerar as superfícies foi utilizado um procedimento de interpolação. Portanto, consiste em um processo em que se supõe que cada ponto influencia determinada superfície resultante até uma determinada distância finita MITAS (1999, p.482), ou seja, pontos que apresentam valores conhecidos influenciam pontos com valores que não são conhecidos. Na imagem abaixo é possível ver o resultado do processo de interpolação. (DocsQgis - GIS introduction, 2022).

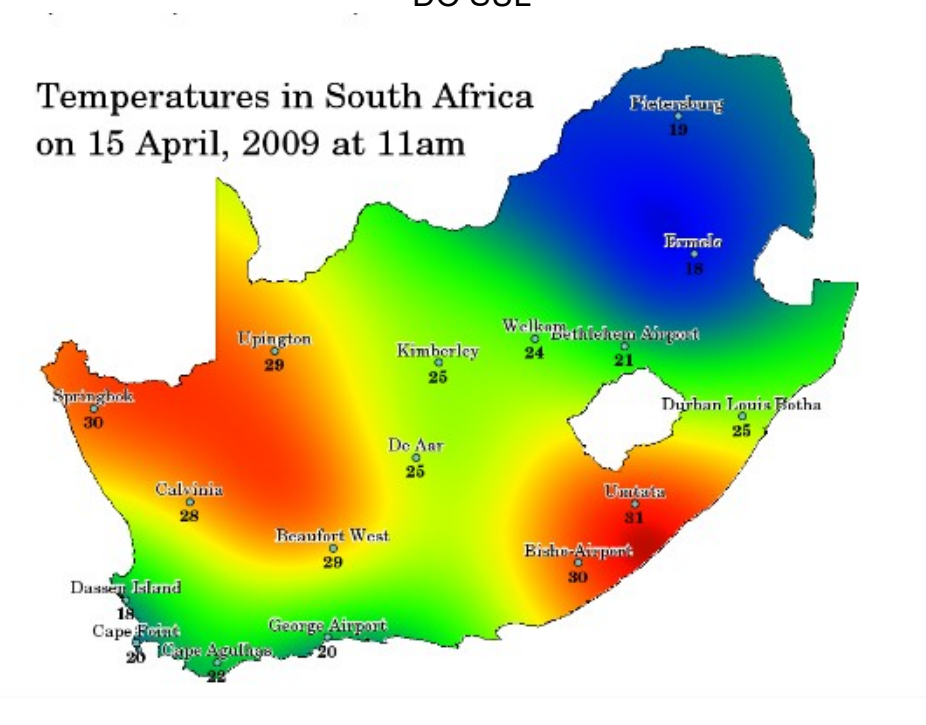


Figura 11: MAPA DE TEMPERATURA INTERPOLADA - ÁFRICA DO SUL

Fonte: (DocsQgis, 2022)

Para gerar as superfícies existem diferentes interpoladores que podem ser utilizados, sendo dois dos mais conhecidos o IDW (Inverse distance Weighted) e o TIN.

A interpolação IDW se baseia que um ponto não amostrado é determinado pela média ponderada de pontos amostrados próximos, de forma que os pesos são determinados como o inverso da distância entre pontos amostrados e o estimado (MITAS, 1999, p.482). Essa interpolação apresenta como descrição a exatidão, porém, dependendo do resultado, pode gerar características indesejadas (Longley, GoodChild e Maguira, 2013). Na Figura 12, pode-se visualizar o resultado da interpolação IDW.

Sample Points

+ Sample Points

Unknown value "?"
(to be interpolated)

Figura 12: INTERPOLAÇÃO IDW

Fonte: DocsQgis (2022) e Mitas,(1999)

Existe nessa interpolação um coeficiente denominado p, que consiste em ponderar a influência de um ponto em outro, de forma que essa ponderação pode aumentar ou diminuir de acordo com o objetivo do usuário. Normalmente utiliza-se um valor padrão de coeficiente - igual a dois (2) - devido ao fato de que valores maiores de coeficiente levam a amostras mais próximas uma influência maior. Caso o trabalho em questão necessite uma distribuição mais equitativa de influência, utilizam-se valores de coeficiente menor ou igual a dois (2), tornando independente da distância. (Farias, Francisco e Senna, 2017).

A desvantagem de se utilizar uma interpolação do tipo IDW é que a qualidade em si da interpolação pode ser avariada, de forma que a irregularidade da distribuição das amostras é o principal fator para a baixa qualidade. De acordo com

DocsQgis (2022), esse tipo de distribuição acaba gerando picos e poços ao redor.

De acordo com Longley, GoodChild e Maguira (2013), a estrutura TIN é uma superfície triangular de dados topológicos em que os triângulos contíguos não se sobrepõem, sendo criadas a partir de um conjunto de pontos conhecidos e que apresentam coordenadas x, y e z. Neste trabalho a coordenada z é referente a temperatura de cada estação, portanto baseada na localização e nas temperaturas de cada estação inserida, sendo assim, a estrutura de dados TIN consiste em triangulações entre pontos amostrais conhecidos para a determinação de pontos amostrais não conhecidos, de modo que são estimados os valores dos locais não amostrados (MITAS, 1999, p.483).

Para esse processo utiliza-se de um algoritmo bastante utilizado, chamado de **Triangulação de Delaunay.** Esse algoritmo consiste na criação de uma superfície triangular baseada em pontos do vizinho mais próximo. Para a criação desses triângulos, utiliza-se de círculos circunscritos ao redor dos pontos amostrais, como mencionado anteriormente, de forma que as interseções entre esses círculos são conectadas por triângulos não sobrepostos (DocsQgis, 2022), Figura 13:

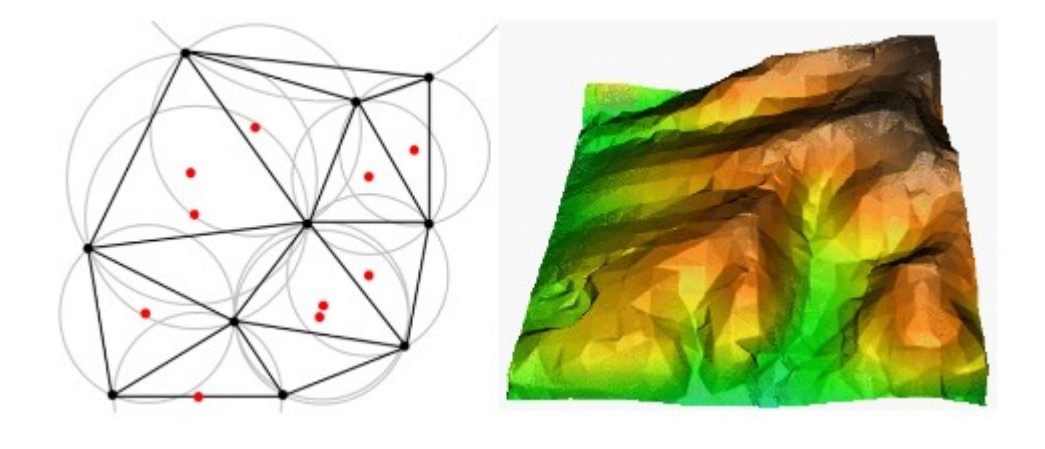


Figura 13: ESTRUTURA DE DADOS TIN

Fonte: DocsQgis (2022) e Mitas (1999)

A desvantagem em se utilizar TIN, é que de certa forma as superfícies acabam não sendo suaves dependendo da quantidade de dados, apresentando um contorno denteado, como comentado por (DocsQgis, 2022). É importante

mencionarmos que esse tipo de interpolação, não é adequada para a extrapolação além dos pontos amostrais, podendo distorcer resultados.

Assim, para definir qual será o método utilizado para gerar as superfícies de temperatura, serão realizados testes com os dois interpoladores apresentados para avaliar a adequação ao objetivo proposto.

Os mapas que serão gerados a partir dos dados serão para intervalos de 50 e 100 anos, conforme indicação dos usuários. Assim, serão gerados mapas, para cada região do Brasil, para 50 e 100 anos, para as temperaturas mínimas e máximas.

Após definir o interpolador serão geradas as das curvas de isovalores de temperatura. De acordo com Moreira (2022), o intervalo de variação utilizado é de 2 em 2 graus, pois análises mais pontuais podem ser realizadas em estudos referentes à temperatura na construção civil.

A última etapa do processamento consistiu em gerar a publicação dos mapas para serem visualizados na Web, por meio do puglinqgis2web, disponível no software QGIS. Os mapas serão gerados considerando os períodos de 50 e 100 anos para os valores máximos e mínimos por região do Brasil.

3. RESULTADOS

3.1 Coleta dos dados

Para os dados de temperatura utilizados, foram consideradas informações diárias dos últimos 30 anos das estações convencionais e 20 anos das automáticas, e como dito anteriormente, existiram casos em que em ambas estações ocorreu a falta de dados de alguns anos em períodos aleatórios. Por exemplo, para estações manuais no período de 1991 até 1995 não existem dados e no caso das estações automáticas, algumas começaram a capturar os dados a partir de 2004. Os dados de temperatura são captados de forma diária.

Figura 14: DADOS DE DOWNLOAD DAS ESTAÇÕES AUTOMÁTICAS E CONVENCIONAIS



Fonte: Autor, 2022

Na Figura 14, pode-se visualizar como o arquivo é nomeado para *download*, contendo a identificação da estação, assim como, as datas de início e fim da coleta das informações.

O arquivo é disponibilizado em formato .CSV, podendo escolher como esse arquivo é apresentado: o tipo de pontuação (vírgula ou ponto), tipos de dados para a escolha (diários, horário, mensais), tipos de estação (Convencional ou Automática) e a região escolhida (Norte, Sul, Sudeste, Centro-Oeste, Nordeste).

Da primeira linha até a nona linha, como de acordo com a Figura 15, está presente identificação e localização desta estação, contendo outras informações também, como a situação da mesma e a data inicial e final das medições.

Figura 15: DADOS DE IDENTIFICAÇÃO DA ESTAÇÃO

	Α	1
h	Nome	PREGUICAS
2	Codigo Estacao	A218
3	Latitude	-2.59222221
4	Longitude	-42.7075
5	Altitude	4.62
6	Situação	Pane
7	Data Inicial	2008-11-21
8	Data Final	2020-12-31
9	Periodicidade da Medicao	Diaria

Fonte: INMET (2022)

Em seguida, vêm as informações em relação à temperatura obtidas por essa estação, sendo apresentada a periodicidade dos dados durante todo o intervalo escolhido, se disponível. Logo a seguir das datas de medições, existem as colunas de temperatura máxima e mínima, sendo apresentadas em graus Celsius (C°). Na Figura 16 a seguir pode-se visualizar essas informações para uma estação automática qualquer, lembrando que todas as informações mencionadas estão representadas de forma igual para estações automáticas e convencionais:

Figura 16: DADOS DE MÁXIMO E MÍNIMO

Data Medicao	TEMPERATURA MAXIMA, DIARIA (AUT)(-EC)	TEMPERATURA MINIMA, DIARIA (AUT)(+);(C)
2008-11-21	out	gull
2008-11-22	nul	gull
2008-11-23	nul	null
2008-11-24	nul	null
2008-11-25	31,9	
2008-11-26	31,7	27,1
2008-11-27	32	27
2008-11-28	31	26,8
2008-11-29	32,4	26,4

Fonte: INMET (2022)

Foram utilizadas para o processo, um total de 771 estações espalhadas pelo Brasil todo, com dados presente em todas as regiões do país e com grande presença na região sul e sudeste. A região norte é a que apresentou a menor quantidade de bases e por assim dados (vide Figura 5).

3.1. TRATAMENTO DOS DADOS NO EXCEL

Com os dados já coletados, conforme o item 3.1, foi necessário fazer um melhor tratamento das informações obtidas.

A Figura 17, logo abaixo, indica um exemplo das relações entre as temperaturas durante os 30 anos de dados escolhidos na estação de Porto Alegre (RS) com a identificação de A801 – Porto Alegre/RS. A variação abaixo diz respeito à temperatura máxima durante todo o tempo estipulado, como mostrado por (Moreira, 2022).

ALEGRE (RS)

Figura 17: GRÁFICO DAS LEITURAS FEITAS EM PORTO ALEGRE (RS)

Fonte: Moreira, (2022)

Com os dados de temperatura diária de cada estação, foi feito um préprocessamento das informações obtidas, para selecionar as temperaturas máximas e mínima de cada ano durante o intervalo de tempo escolhido, visto na igura 18.

Figura 18: TEMPERATURAS MÉDIAS DE MÁXIMA E MÍNIMA (A807 – Curitiba)



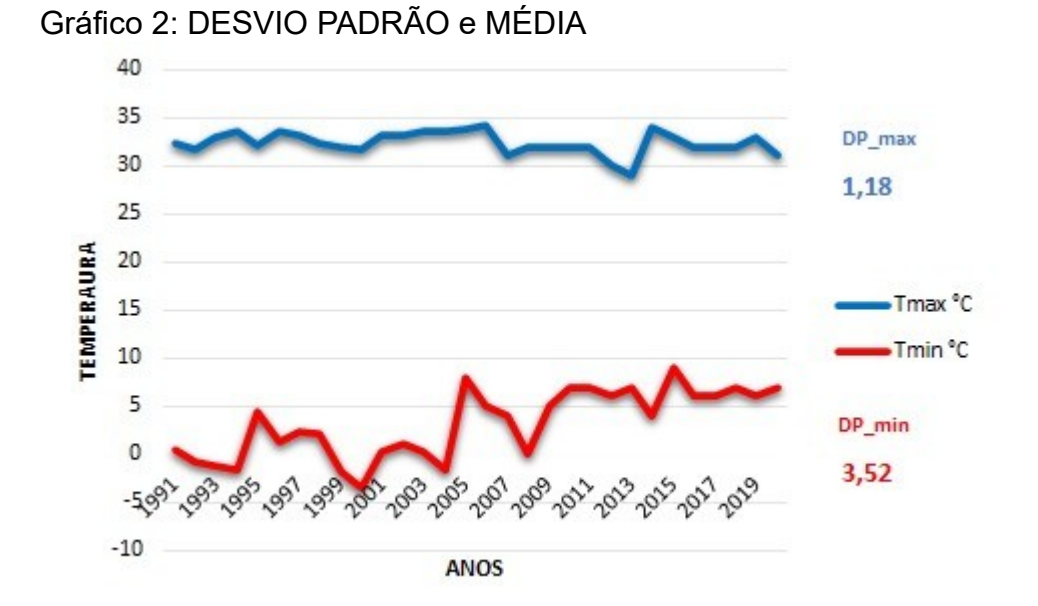
Fonte: Autor adaptado de Moreira, (2022)

Pode-se verificar que as informações se encontram em ordem crescente em relação ao ano, e de acordo com Moreira (2022), essa representação utilizando valores extremos é uma melhor opção para a representatividade das análises, visto que o uso direto de funções nos dados de temperatura não permitem uma alta efetividade das curvas estatísticas em relação às temperaturas. Deste modo, foram escolhidos 30 valores de máximos e mínimos no tempo de recorrência escolhido, utilizando funções de máximo e mínimo disponibilizadas pelo Excel. Por meio dessas análises dos extremos, pode-se visualizar de uma melhor forma a variação de temperatura em uma determinada estação.

No Gráfico 1, nota-se um aumento das temperaturas mínimas ao longo do período de tempo escolhido, assim como nota-se um padrão de temperatura máxima.

Gráfico 1: TENDÊNCIA - ESTAÇÃO A807 40 35 30 25 Temperaturas (°C) 20 Tmax °C 15 TENDÊNCIA - MÁXIMA 10 Tmin °C TENDÊNCIA - MÍNIMA 5 -10 Anos

Fonte: Autor, (2022)



Fonte: Autor, (2022)

Em muitos casos, as estações apresentam problemas em relação à obtenção dos dados, sejam eles causados por falha humana, no caso das estações convencionais, ou no caso de pane da estação em si, ou até mesmo, desativada na maioria dos casos.

Figura 19: ESTAÇÃO DEFINIDA COMO DESATIVADA

Nome: CAMPO TENENTE
Codigo Estacao: 83077
Latitude: -25.98
Longitude: -49.68
Altitude: 0
Situacao: Desativada

Fonte: Autor, (2022)

Percebe-se com bastante frequência a falta de dados durante períodos aleatórios de tempo, tanto em estações convencionais, quanto em estações automáticas.

Figura 20: PERÍODO SEM LEITURA NA ESTAÇÃO CURITIBA (A807)

=0 ., .		(,,,,,,,,,,,,,,,,,,,,,,,,,,,,,,,,,,,,,,
31/01/20	03 null	null
01/02/20	03 null	null
02/02/20	03 null	null
03/02/20	03 null	null
04/02/20	03 null	null
05/02/20	03 null	null
06/02/20	03 null	null
07/02/20	03 null	null
08/02/20	03 null	null
09/02/20	03 null	null
10/02/20	03 null	null
11/02/20	03 null	null
12/02/20	03 null	null
13/02/20	03 null	null

Fonte: Autor, (2022)

A solução escolhida para esses casos, é a mesclagem de dados das estações automáticas com as estações convencionais, de forma que na falta de informação em um determinado período de tempo possa ser resolvido utilizando dados de uma estação convencional. Entretanto, alguns dados só existem para estações convencionais, uma vez que as estações automáticas começam a obtenção de dados pós ano 2000.

Figura 21: DADOS NA MESMA ÉPOCA DE ESTAÇÕES CONVENCIONAIS E AUTOMÁTICAS

27/01/2003	21.7	16.2	Data Medicao	TEMPERATURA MAXIN	TEMPERA
	21,7	16,3	27/01/2003	null	null
28/01/2003	25,5	16,3	28/01/2003		null
29/01/2003	24,9	16	29/01/2003		null
30/01/2003	26	15,7			
31/01/2003	26,6	17,4	30/01/2003		null
01/02/2003		-	31/01/2003	null	null
	25,5	19,1	01/02/2003	null	null
02/02/2003	31,7	16,8	02/02/2003	null	null
03/02/2003	32,6	17,6	03/02/2003	null	null
04/02/2003	33,5	18,4	04/02/2003		null
05/02/2003	29,7	19,2	05/02/2003		null
06/02/2003	30	19	06/02/2003		null
07/02/2003	32	20	07/02/2003		null
08/02/2003	30,3	19,3	08/02/2003		null

Fonte: Autor, (2022)

3.2 - Processamento dos dados no software HIDRYGNOMOM

Já com as 30 informações de temperaturas, é feita a inserção manualmente desses dados no software. Como exemplo será usada a estação A807 de Curitiba.

Figura 22: TABELA INSERIDA NO SOFTWARE HYDROGNOMOM

Fonte: Autor, (2022)

Utilizando da opção estatística presente na opção HYDROLOGY, é feita a leitura das informações inseridas, tendo como resultado a análise em relação às curvas estatísticas. De acordo com Moreira (2022), os pontos em azul, como demonstrado na Figura 23, são em relação à distribuição empírica de Weibull, sendo cada ponto um ano correspondente da tabela mostrada na Figura 22. Já as linhas, são as demonstrações das distribuições escolhidas para a representação e análise.

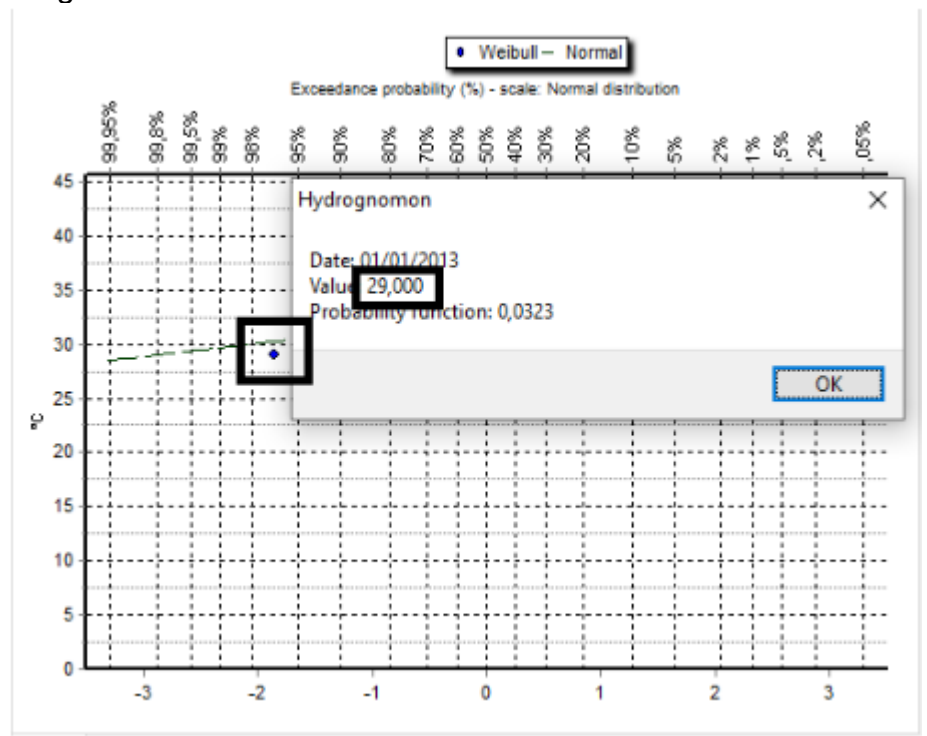


Figura 23: PONTOS AZUIS DEMONSTRANDO CADA ANO

Fonte: Autor, (2022)

Na Figura 24 a seguir, estará representada a relação entre as curvas selecionadas para análises e as temperaturas representadas pelos pontos, cujo cada curva é uma distribuição selecionada anteriormente. No eixo horizontal a probabilidade estatística e no eixo vertical as temperaturas em °C, tudo isso em uma escala de distribuição normal.

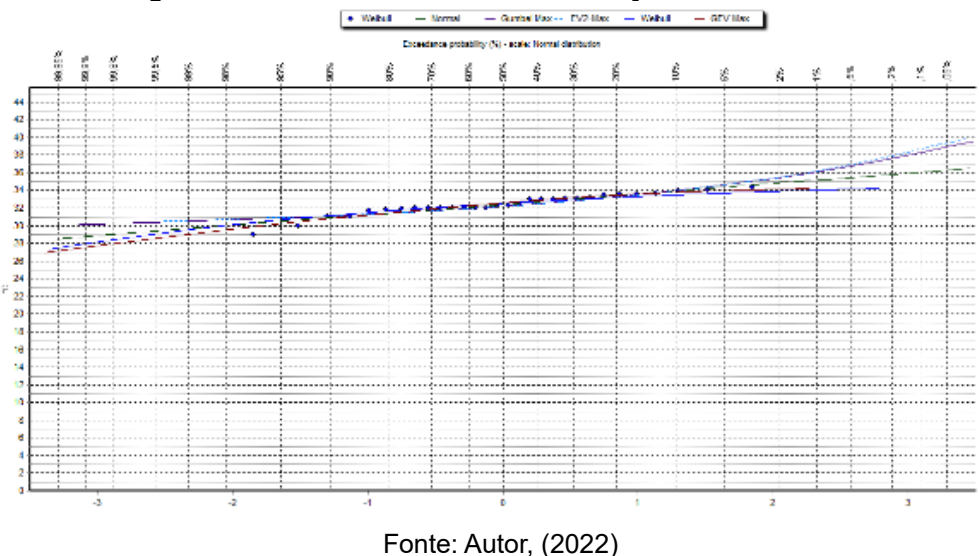


Figura 24: CURVAS DE DISTRIBUIÇÃO DE DADOS

Ao selecionar a opção *teste* e logo em seguida selecionar a opção estatística de *Kolmogorov-Sminorv* é feita a validação das funções. *Kolmogorov-Sminorv* é um teste estatístico em que se compara a proporção de valores esperados em relação aos valores resultante das distribuições, tendo sua validação dada através do módulo do desvio máximo, que deve ser menor que o desvio tabelado de acordo com seu nível de significância, ou seja, a maior porcentagem indica uma melhor aceitação, visto que o desvio é menor (Moreira, 2022).

Após a seleção do teste de *Kolmogorov-Sminorv*, utiliza-se desse critério para fazer uma comparação entre todas distribuições escolhidas, de forma que muitas distribuições atendem aos pré-requisitos e são selecionadas aquelas que apresentam maior porcentagem de qualidade (Figura 25). Usa-se também de análises gráficas, de modo que se verifica a curva que melhor se encaixa em relação às temperaturas.

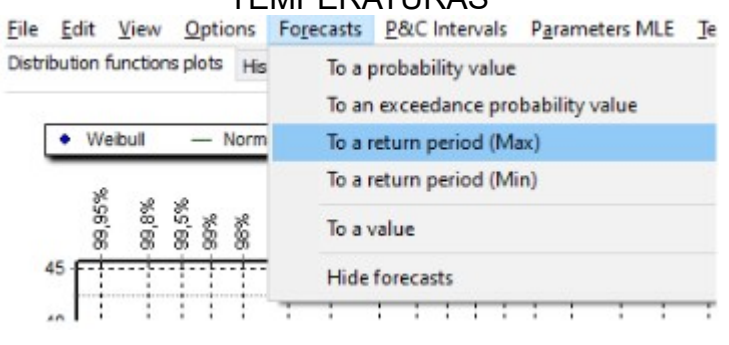
Figura 25: VERIFICAÇÃO DE QUALIDADE (ESTAÇÃO A807 - CURITIBA)

Kolmogorov-Smirnov test for:All data	a=1%	a=5%	a=10%	Attained a	DMax
Normal	ACCEPT	ACCEPT	ACCEPT	78,2655%	0,11247
Normal (L-Moments)	ACCEPT	ACCEPT	ACCEPT	75,6648%	0,11545
LogNormal	ACCEPT	ACCEPT	ACCEPT	74,9574%	0,11625
Exponential	ACCEPT	ACCEPT	REJECT	8,69995%	0,22128
Exponential (L-Moments)	ACCEPT	ACCEPT	REJECT	5,51834%	0,23731
Gamma	ACCEPT	ACCEPT	ACCEPT	78,2655%	0,11247
Pearson III	ACCEPT	ACCEPT	ACCEPT	41,5681%	0,15403
Log Pearson III	ACCEPT	ACCEPT	ACCEPT	29,6211%	0,17095
EV1-Max (Gumbel)	ACCEPT	ACCEPT	ACCEPT	34,7138%	0,16328
EV2-Max	ACCEPT	ACCEPT	ACCEPT	30,0572%	0,17026
EV1-Min (Gumbel)	ACCEPT	ACCEPT	ACCEPT	45,1947%	0,14950
EV3-Min (Weibull)	ACCEPT	ACCEPT	ACCEPT	29,9713%	0,17040
GEV-Max	ACCEPT	ACCEPT	ACCEPT	61,7315%	0,13070
GEV-Min	ACCEPT	ACCEPT	ACCEPT	57,0744%	0,13579
Pareto	ACCEPT	ACCEPT	ACCEPT	41,2625%	0,15442
GEV-Max (L-Moments)	ACCEPT	ACCEPT	ACCEPT	75,3152%	0,11584
GEV-Min (L-Moments)	ACCEPT	ACCEPT	ACCEPT	66,7360%	0,12528
EV1-Max (Gumbel, L-Moments)	ACCEPT	ACCEPT	ACCEPT	36,3293%	0,16100
EV2-Max (L-Momments)	ACCEPT	ACCEPT	ACCEPT	32,2549%	0,16688
EV1-Min (Gumbel, L-Moments)	ACCEPT	ACCEPT	ACCEPT	46,6842%	0,14770
EV3-Min (Weibull, L-Moments)	ACCEPT	ACCEPT	ACCEPT	52,1839%	0,14128

Nota-se em destaque com cor azul aquela que dentre as distribuições selecionadas, é a de melhor qualidade para a validade desses dados acima, usados como exemplo, é a distribuição Normal, sendo aceita em todos os intervalos de confiança.

Após esse processo de verificação visual das porcentagens e da curva (Figura 24) é feita a previsão das temperaturas, utilizando da função *forecast* selecionando um período de retorno, sendo esse de 50 e 100 anos no futuro, tanto em temperaturas máximas quanto em mínimas.

Figura 26: PREVISÃO DE FUTURAS TEMPERATURAS



Logo em seguida, encontram-se os valores retornados para um período de 50 anos, como podemos visualizar na Figura 27.

Figura 27: TEMPERATURAS MÁXIMAS NOS PRÓXIMOS 50 ANOS

All data - T(Max) = 50,0000 y	Value		
Normal	34,8342		
Normal (L-Moments)	34,7711		
LogNormal	34,9032		
Invalid			
Exponential	35,8474		
Exponential (L-Moments)	36,1876		
Gamma	34,8342		
Pearson III	35,3319		
Log Pearson III	35,5742		
EV1-Max (Gumbel)	35,4711		
EV2-Max	35,5214		
EV1-Min (Gumbel)	34,1973		
EV3-Min (Weibull)	33,8856		
GEV-Max	34,1504		
GEV-Min	34,3173		

Fonte: Autor, (2022)

Nota-se que o valor retornado para a distribuição escolhida (normal) é de 34,8342 °C, sendo assim, é possível comparar com valores de temperatura das outras distribuições escolhidas, como a EV2-máx que apresenta um valor de temperatura diferente, mas próximo. Mesmo que sejam próximas, é importante que sempre seja escolhida a distribuição que apresenta a melhor qualidade de ajuste (Moreira, 2022).

O processo é repetido para as temperaturas mínimas de cada estação. Na Figura 28, é possível verificar o processo para outra estação.

Figura 28: VERIFICAÇÃO DE QUALIDADE DAS TEMPERATURAS MÍNIMAS (A802 - RIO GRANDE)

Kolmogorov-Smirnov test for:All data	a=1%	a=5%	a=10%	Attained a	DMax
Normal	ACCEPT	REJECT	REJECT	3,38329%	0,25345
Normal (L-Moments)	ACCEPT	REJECT	REJECT	2,29036%	0,26563
LogNormal	ACCEPT	ACCEPT	ACCEPT	49,3082%	0,14460
Galton	ACCEPT	ACCEPT	ACCEPT	18,3498%	0,19219
Exponential	ACCEPT	ACCEPT	ACCEPT	27,6128%	0,17424
Exponential (L-Moments)	ACCEPT	ACCEPT	ACCEPT	19,6763%	0,18925
Gamma	REJECT	REJECT	REJECT	0,00065%	0,45161
Pearson III	ACCEPT	ACCEPT	REJECT	5,80808%	0,23556
Log Pearson III	REJECT	REJECT	REJECT	0,00056%	0,45435
EV1-Max (Gumbel)	ACCEPT	ACCEPT	ACCEPT	19,4858%	0,18966
EV2-Max	REJECT	REJECT	REJECT	%	0,70968
EV1-Min (Gumbel)	REJECT	REJECT	REJECT	0,29835%	0,32203
EV3-Min (Weibull)	ACCEPT	ACCEPT	ACCEPT	98,6048%	0,07562
GEV-Max	ACCEPT	ACCEPT	ACCEPT	15,4113%	0,19937
GEV-Min	ACCEPT	REJECT	REJECT	3,44316%	0,25289
Pareto	REJECT	REJECT	REJECT	%	1,63291
GEV-Max (L-Moments)	ACCEPT	REJECT	REJECT	2,04475%	0,26907
GEV-Min (L-Moments)	ACCEPT	ACCEPT	REJECT	9,94379%	0,21635
EV1-Max (Gumbel, L-Moments)	ACCEPT	ACCEPT	REJECT	8,44594%	0,22235
EV2-Max (L-Momments)	REJECT	REJECT	REJECT	%	0,70968
EV1-Min (Gumbel, L-Moments)	REJECT	REJECT	REJECT	0,21764%	0,32992
EV3-Min (Weibull, L-Moments)	ACCEPT	ACCEPT	ACCEPT	66.5865%	0.12544

Fonte: Autor, (2022)

Pode-se verificar na imagem acima, que as porcentagens (%) se encontram com uma menor aderência aos dados. De forma que a distribuição EV3-MIN (Weibull) é a que apresenta melhor qualidade, em torno de 98,6048%.

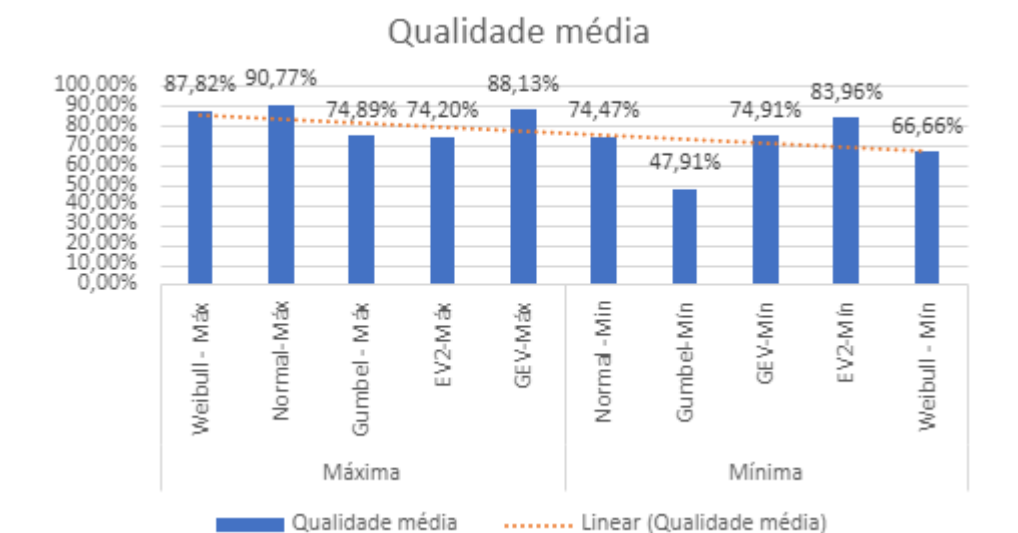
É muito comum nesse processo, que existam algumas estações que apresentam uma qualidade abaixo do esperado. Entretanto, os dados são utilizados, visto que o objetivo principal é a geração de um mapa de temperatura.

Figura 29: VALOR DE TEMPERATURA MÍNIMA PARA 50 ANOS

All data - T(Min) = 50,0000 y	Value		
Normal	-2,85199		
Normal (L-Moments)	-2,25732		
LogNormal	0,08546		
Galton	-1,22463		
Exponential	-0,63027		
Exponential (L-Moments)	-0,57036		
Gamma	0,00044		
Pearson III	-0,80889		
Log Pearson III	0,38371		
EV1-Max (Gumbel)	-1,73576		
EV2-Max	0,47983		
EV1-Min (Gumbel)	-3,96816		
EV3-Min (Weibull)	0,00390		
GEV-Max	-1,36693		
GEV-Min	-0,75730		
Pareto	-0,69962		
GEV-Max (L-Moments)	-0,39834		
GEV-Min (L-Moments)	-0,17085		
EV1-Max (Gumbel, L-Moments)	-1,41459		
EV2-Max (L-Momments)	0,11518		
EV1-Min (Gumbel, L-Moments)	-3,41811		
EV3-Min (Weibull, L-Moments)	0,00064		
Pareto (L-Moments)	-0.24491		

Para um intervalo de 90%, observável na Figura 29, nota-se a temperatura mínima obtida, valor de 0,00390 °C, sendo possível novamente comparar entre as distribuições e notar uma leve diferença, como entre EV3-MIN (Weibull) e GEV-MIN, sendo a primeira 0,00390 e segunda –0,75730 °C.

Gráfico 3: QUALIDADE DAS INFORMAÇÕES GERADAS PELAS DISTRIBUIÇÕES



Pode-se observar no gráfico 3, que a distribuição normal apresenta 90% de qualidade, para os dados de temperatura máximas, mas essa mesma distribuição na temperatura mínima ocorre uma diferença significante de qualidade, chegando aproximadamente a 74,47%. A distribuição de Gumbel foi a que apresentou a menor qualidade entre as distribuições máximas e mínimas, mas, ainda assim, apresenta uma certa relevância no estudo de extremos, como dito por (Moreira, 2022). Já as distribuições GEV e EV2, foram as que apresentaram as melhores estimativas de temperatura, com qualidade na obtenção da máxima e mínima.

Percebe-se a proximidade entre as distribuições, com uma única queda significante, concluindo que é possível utilizar qualquer tipo de distribuição desde que tenham qualidade próxima para a determinação das temperaturas.

É feito esse processo para as outras 770 estações, de forma que se cria uma nova planilha com os dados de temperatura de cada estação e a localidade.

3.2 GERAÇÃO DOS DADOS DE TEMPERATURA

Os dados das 771 estações separadas por regiões (Norte, Sul, Sudeste, Nordeste e Centro-Oeste) são inseridas no software de processamento QGIS. Os dados das temperaturas calculadas no software HIDRYGNOMOM são inseridos como atributos destas estações. Na Figura 30, é possível notar em como se dispõem as informações da planilha, sendo uma adaptação da planilha original de coautoria de Moreira (2022).

Figura 30: DADOS DAS ESTAÇÕES DA REGIÃO NORTE

ESTAÇÃO:	LATITUDE	LONGITUDE	ALTITUDE	50 ANDS MAXIMO 100	ANOS MAXIMO 5	O ANOS MINIMO 1	OO ANOS MINIMO:
A009 -83033 - PALMAS	-10.190744	-48.301811	291.87	41,7797	42,0351	10,3236	8,91826
A010 -83231 - PARANA	-12.6150000	-47.8719444	284.96	42,1696	42,3598	11,0889	11,0678
A018 -83228 - PEIXE	-12.015377	-48.544517	250.87	41,3263	41,5072	11,4461	10,8579
A019 -83160 - GURUPI	-11.7458333	-49.0497222	279.07	41,2792	41,3726	11,4072	11,3959
A020 -82863 - PEDRO AFONSO	-8.968677	-48.177259	189.71	42,1684	42,8145	14,9256	14,8471
A021 -82659 - ARAGUAINA	-7.10388888	-48.2011111·	230.76	38,3706	38,4224	12,2934	12,2777

Fonte: Autor adaptado de Moreira, (2022)

Dentro do software QGIS é feita a inserção dessa planilha por meio da opção adicionar uma camada de texto delimitado, conforme indicado na Figura 31.

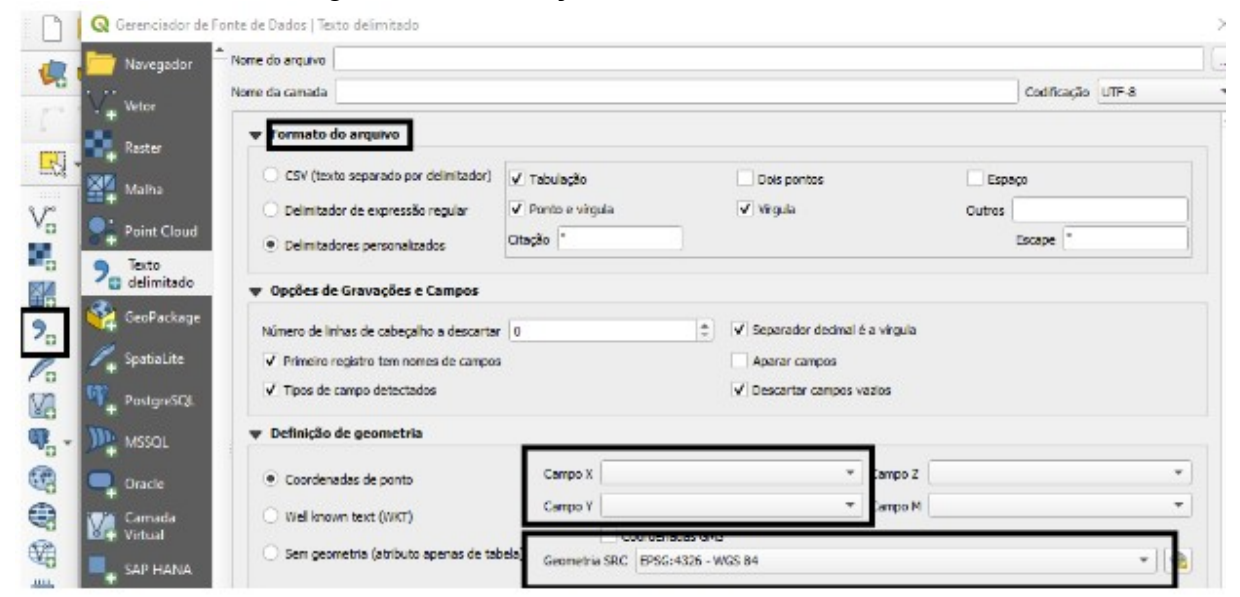


Figura 31: INSERÇÃO DE DADOS NO QGIS

Fonte: Autor, (2022)

Após esse processo, é feita a transformação do sistema de referência de origem para o para o sistema de referência de destino. O sistema de origem é o *WGS-84* que apresenta como unidade de medida o grau (°) e após a transformação utiliza-se o sistema de referência SIRGAS 2000 / Brazil Polyconic com a unidade medida métrica (m).

3.2.1 Escolha do interpolador

3.2.1.1 Inverse Distance Weighted- IDW

Para gerar os mapas de temperatura utilizando o Interpolado IDW são definidos os parâmetros conforme a Figura 32. O atributo dessa interpolação será a previsão de temperatura escolhida. Nesse caso do exemplo, a previsão de temperatura de 100 anos máximo.

Q Interpolação IDW Parâmetros Log 100 ANOS MÁX Atributo de interpolação Usar Coordenada Z para interpolação B = Camada vetorial Atributo Tipo Distânda para coeficiente P 2,000000 Extensão ---Tamanho do raster de saida + Colunas . Tamanho do pixel X 0,100000 Tamanho do pixel Y 0,100000 \$ Interpolado [Salvar em arquivo temporário] ✓ Abrir arquivo de saida depois executar o algoritmo

Figura 32: PARÂMETROS IDW

Fonte: Autor, (2022)

Logo em seguida, é feita a escolha de extensão, apresentando 3 opções que são baseadas no limite da área a ser interpolada. São as seguintes opções: *Calcular a partir de uma camada, usar extensão da tela do mapa e desenhar na tela* (Figura 33)

Figura 33: PARÂMETROS DE EXTENSÃO

Extensão

3912819.9784,3783272.0227,7337827.4844,9373793.7811 [8956:5880]]

Temenho do rester de seide

tinhes 909099 © Columbs 999999 © Desembar na tella

Desembar na tella

Fonte: Autor, (2022)

Foi escolhida a usar extensão da tela do mapa, e em seguida é escolhido o tamanho do *raster* de saída informando o tamanho de pixel. Esse tamanho do pixel foi medido anteriormente por meio da ferramenta de régua disponível no software, de modo que a menor distância entre os pontos é de aproximadamente 3 km, verificando que o tamanho ideal de pixel é 3000, mas sendo utilizado metade desse tamanho aproximadamente 1500.

Na Figura 34, é possível ver o resultado gerado com a interpolação IDW, utilizando como exemplo a região sul do Brasil. Pode-se perceber que o uso desse interpolador oferece algumas desvantagens, como a falta de regularidade das amostras, dito no item 2.5, favorecendo a criação de picos e poços ao redor de amostras, como podemos visualizar abaixo:

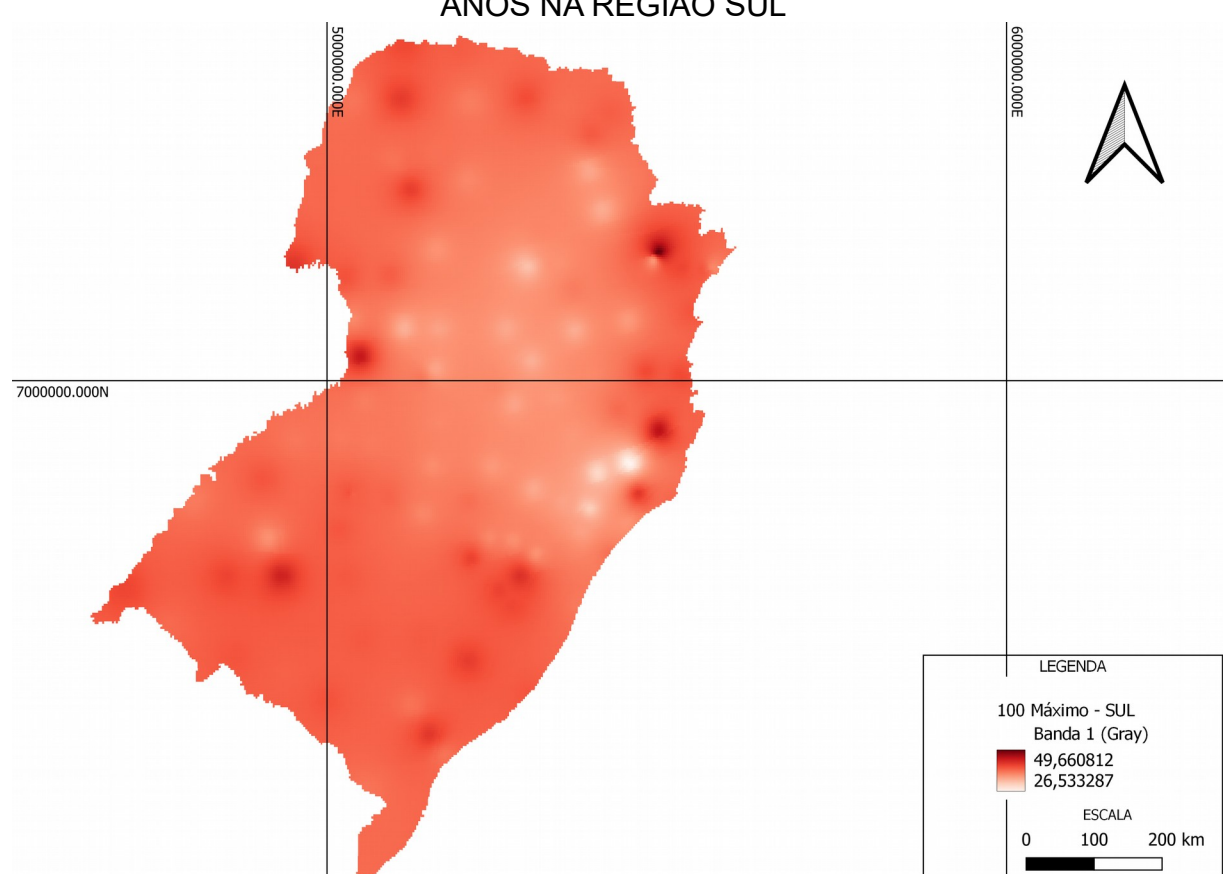


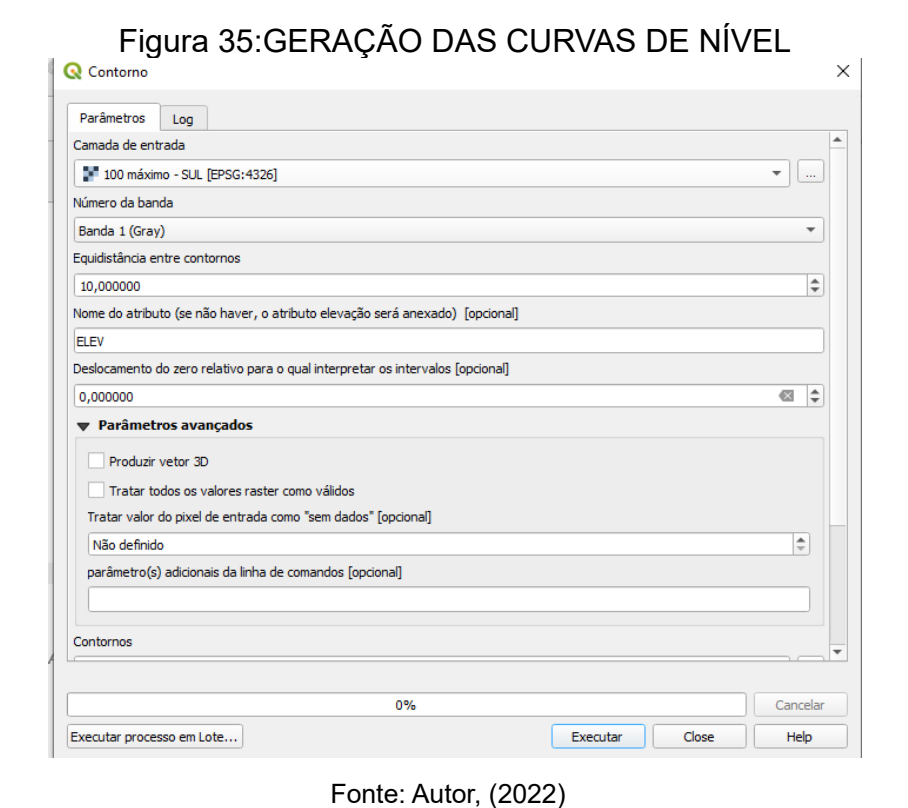
Figura 34:TEMPERATURA MÁXIMA PARA TEMPO DE RECORRÊNCIA DE 100 ANOS NA REGIÃO SUL

Para a geração das curvas de temperatura utiliza-se dos produtos gerados pela interpolação, sendo mapas referentes a cada região do Brasil com suas determinadas previsões (50 e 100 anos).

É importante lembrar que essas curvas se baseiam nas informações interpoladas, vide item 2.5, levando em consideração os valores de temperatura na região em questão. Será utilizado como exemplo, um mapa do sul do país com previsão para temperaturas máximas em 100 anos.

Na Figura 35, é possível ver o processo para a obtenção das curvas de temperatura, levando em conta uma imagem em formato .TIF. No menu *raster,* seleciona-se opção *extrair* e por fim a opção *contorno.*

A opção *contorno* é utilizada para a geração de uma curva que determina a diferença de temperatura a cada 2 °C.



A camada de entrada é um arquivo raster gerado pela interpolação IDW, seguido da equidistância adota para a análise. Os demais itens são deixados como *default*, sendo a última escolha o local de armazenamento.

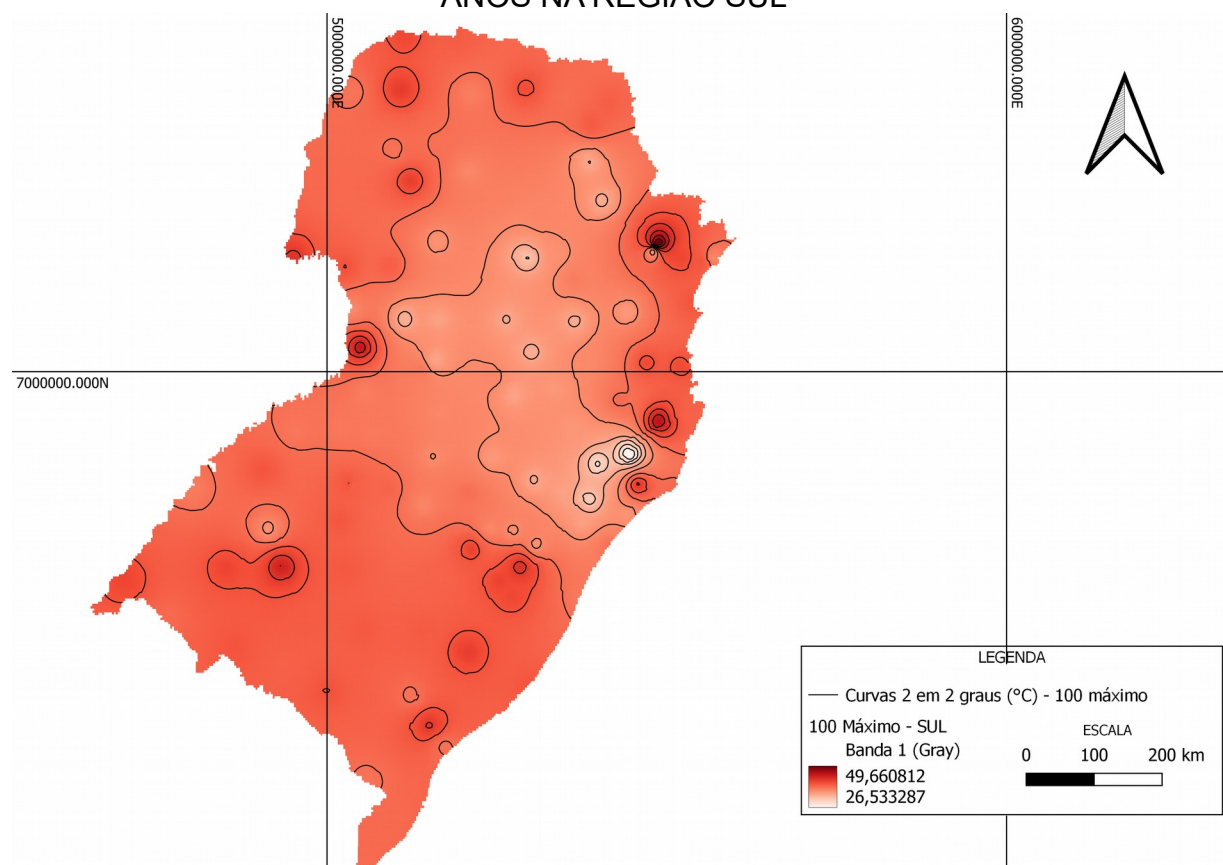


Figura 36: TEMPERATURA MÁXIMA PARA TEMPO DE RECORRÊNCIA DE 100 ANOS NA REGIÃO SUL

As maiores temperaturas se encontram mais na região oeste e norte, com picos de temperatura próximos a São Paulo capital e Vitória, e poços de temperatura espalhados pela região. A variação de temperatura nesse caso, ficou entre 26°C e 49°C.

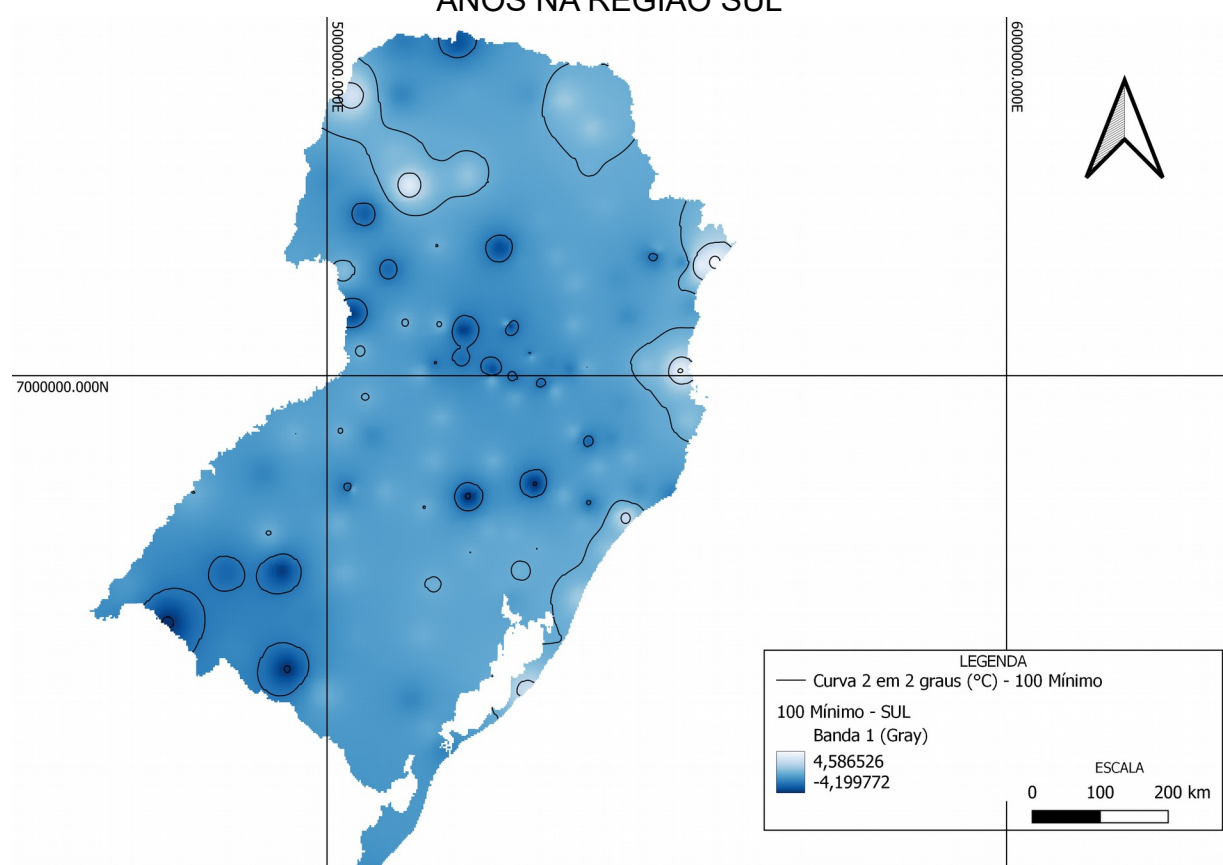


Figura 37:TEMPERATURA MÍNIMA PARA TEMPO DE RECORRÊNCIA DE 100 ANOS NA REGIÃO SUL

No caso da temperatura mínima, percebe-se a geração de picos e poços ao redor das amostras. Destacando-se temperaturas menores na região sul de Porto Alegre, atingindo valores aproximados de -4°C a 4°C.

A escolha da interpolação IDW para o estudo de temperatura seria ideal caso houvesse amostras espalhadas regularmente e com uma quantidade maior de estações

3.2.1.2 Triangular Irregular Network - TIN

Para a geração de um mapa de temperatura utilizando TIN, é importante entendermos que o processo de inserção dos dados é o mesmo que para o IDW (vide item 3.3.1.1), de forma que a única mudança é feita na hora da escolha dos parâmetros.

Parâmetros Log Camada(s) de entrada Camada vetorial 100 ANOS - CENTROCESTE-TESTE Atributo de interpolação Usar Coordenada Z para interpolação Camada vetorial Atributo Tipo Tamanho do raster de saída Colunas Colunas 1 0 Tamanho do pixel X 2500,000000 ↑ Tamanho do pixel Y 2500,000000 + Interpolado

Figura 38: PARÂMETROS TIN

Fonte: Autor, (2022)

Na Figura 38, é possível notar que a única diferença na ferramenta entre o processamento usando o IDW e o TIN é o método de interpolação escolhido, sendo utilizado a versão *default*, que seria a linear. Esse método linear traça uma linha reta entre os pontos usados na triangulação enquanto que o cúbico traça uma curva entre eles. Foi realizado teste com a interpolação cúbica, mas houve alteração no produto final gerado.

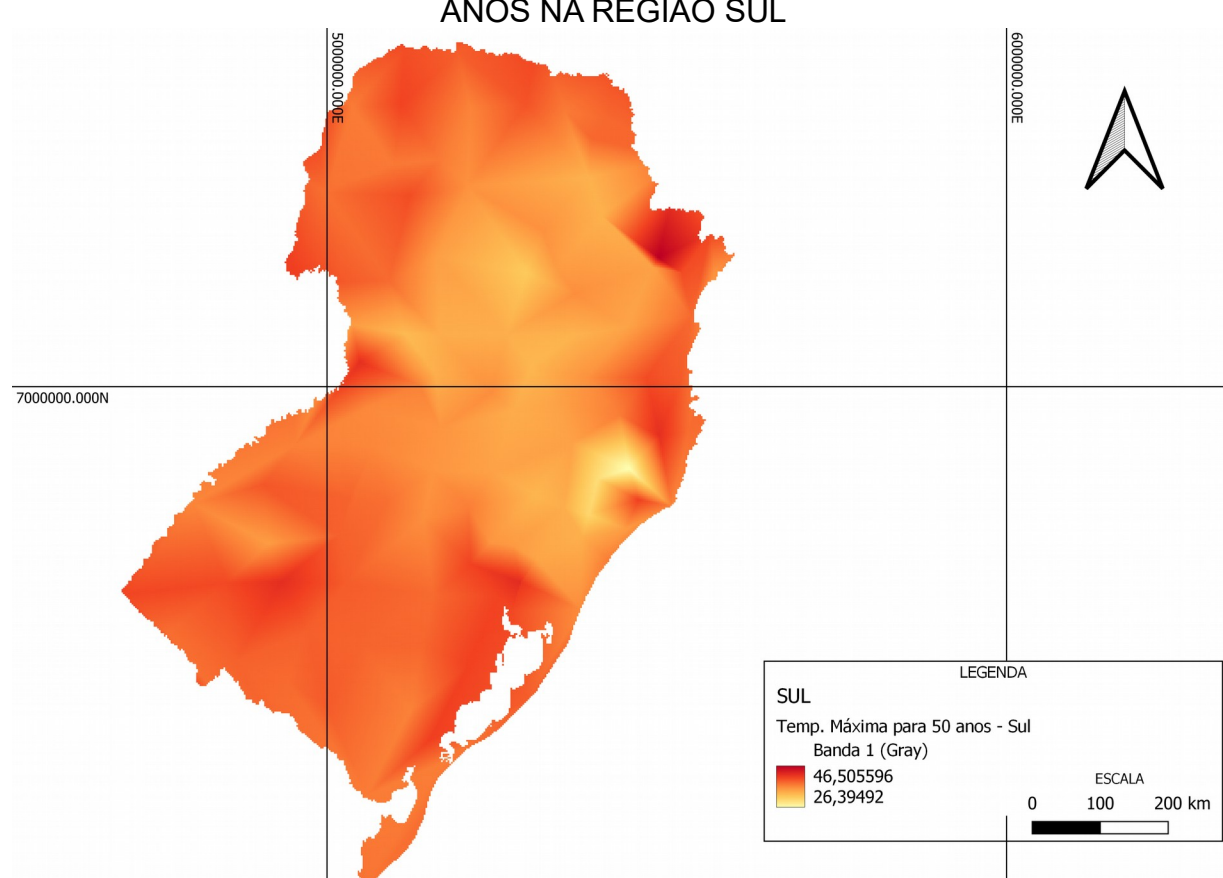


Figura 39: TEMPERATURA MÁXIMA PARA TEMPO DE RECORRÊNCIA DE 50 ANOS NA REGIÃO SUL

3.2.1.2.1 Geração de Curvas de Temperatura - TIN

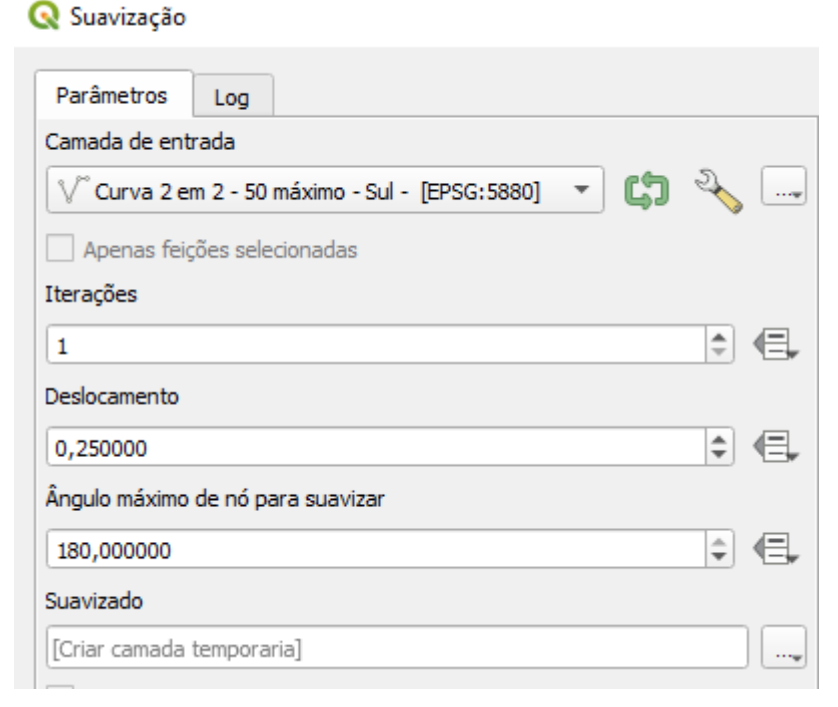
A geração de uma curva de temperatura para a estrutura de dados TIN segue o mesmo processo da geração para o interpolador IDW com a única diferença que o TIN é um método de geração de superfície e sendo necessário escolher qual arquivo em formato .TIF será utilizado, nesse caso, a imagem gerada pela triangulação.

É importante mencionarmos que as curvas de temperatura geradas por meio de TIN apresentam características dentadas, de modo que seja necessário usar funções ou complementos que permitam suavizar essas curvas. Para esses casos, utilizou – se de uma função de suavização de geometria, permitindo que os contornos apresentem uma leve suavidade, principalmente em quinas.

Na Figura 40, é possível verificar quais parâmetros são necessários para realizar a suavização: começando com o número de *iterações* que serão realizadas

(quanto maior o número, maior será a suavização); em seguida o *deslocamento* (quanto menor o valor, mais fiéis ao resultado) e por último o *ângulo máximo de nó* para suavizar (ângulo em que a partir dele não terá mais suavização).

Figura 40: FUNÇÃO DE SUAVIZAÇÃO DE CURVA DE NÍVEL



Fonte: Autor, (2022)

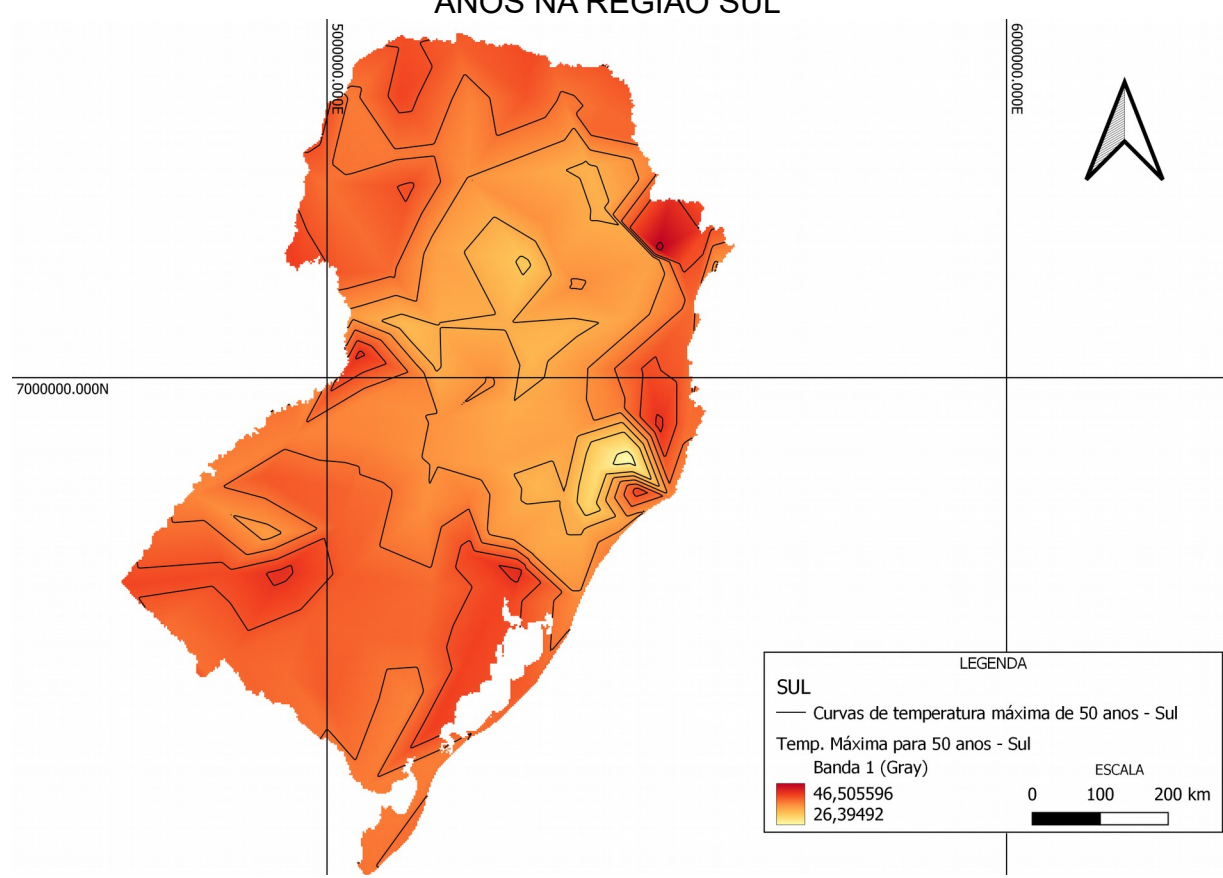


Figura 41:TEMPERATURA MÁXIMA PARA TEMPO DE RECORRÊNCIA DE 50 ANOS NA REGIÃO SUL

Na Figura 41, é possível notar que as curvas mesmos suavizadas apresentam uma aparência dentada, indicando uma característica da estrutura de dados TIN.

É importante mencionar que existe a função Line Smooth, disponibilizado pelo complemento SAGA que executa a suavização de curvas de forma mais eficiente. Entretanto, não foi possível utilizar essa ferramenta pois o algoritmo não reconhece as curvas geradas por um raster TIN. Em relação a temperatura, percebe-se temperaturas mais elevadas em todo leste e oeste da região sul, assim como, picos de temperatura no nordeste e oeste do estado do Paraná, com temperaturas máximas variando de 26 °C até 46 °C.

Considerando os resultados gerados com os dois interpoladores, optou-se por utilizar o TIN, pois os resultados gerados por ele como as curvas de temperatura e variação de cores permite que as análises sejam realizadas com facilidade. De

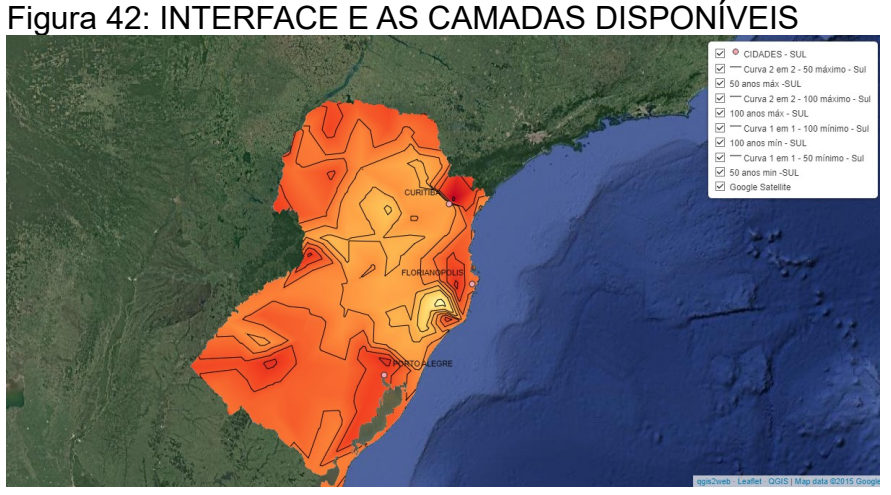
acordo com Moreira (2022), essa produção gráfica segue padrões de mapas europeus e justifica a necessidade de atualização da norma brasileira, além do método de triangulação de Delaunay é mais frequentes no desenvolvimento de desenhos englobando curvas na topografia e mapas geodésicos.

Sendo assim, foram utilizados apenas dois tipos de superfície geradas devido ao tempo de processamento de todos os dados, visto que foi um tratamento manual de todas as informações.

Os mapas das demais regiões do Brasil se encontram no Apêndice.

3.3 PUBLICAÇÃO DOS DADOS NA WEB

Após os produtos finais já estarem desenvolvidos, o resultado foi aplicado e publicado por meio do QGIS2WEB, disponível na página da orientadora (http://docs.ufpr.br/~luciene/tcc_PHCF.html), na Figura 42, é possível a interface desse geosserviço e suas camadas.



Fonte: Autor, 2022

Ao clicar nas curvas de temperatura presente, nota-se que abre uma janela contendo a informação referente a temperatura em graus Celsius daquela curva. Os dados são apresentados por números nesse serviço, permitindo que os usuários, que já conheçam sobre o assunto, possam realizar suas análises.

Figura 43: REPRESENTAÇÃO DO POP-UP NO GEOSSERVIÇO



Fonte: Autor, 2022

4. CONSIDERAÇÕES FINAIS

A execução deste trabalho demonstrou a importância que o sistema de informação geográfica (SIG), quando aplicado, faz em qualquer área de estudo desde que tenha homogeneidade de dados e fácil disponibilização, isso em fato influencia diretamente o produto gerado, tornando possível assim que análises e produtos sejam realizados com uma maior qualidade desde que tenha mais informações.

A falta de dados e a situação precária de muitas estações são apenas alguns pontos negativos da influência que esses problemas causam na geração do produto final, no caso os mapas de temperatura.

Em relação aos interpoladores, a estrutura de dados TIN foi a melhor representação dos dados em questão, algo que o IDW apresentou também, mas devido a grande quantidade de picos de temperatura acabou deteriorando visualmente o produto. Por meio do TIN, apesar da dimensão continental do Brasil, foi a melhor forma de processar e visualizar os dados, visto que é um processo simples e rápido, utilizando da triangulação de Delaunay para a geração dos mapas de temperatura.

As contribuições vindas das análises dos mapas de recorrência de 50 e 100 anos, permitem que sejam feitas revisões a respeito dos itens 11.4.2.1 e 11.4.2.2 (vide item 1.1) na NBR 6118:2014, no quesito de demonstrar a variação de temperatura em uma determinada região, de modo que auxilie nos estudos sobre o concreto armado.

Os dados disponibilizados na web servem como um complemento para futuros estudos e análises referentes a mapas de temperatura, se tornando uma ferramenta capaz de propagar conhecimento. É importante ocorrer uma seleção dos dados, de modo a não sobrecarregar o servidor hospedado, devido ao fato que dados *raster* devem ser tratados de modo diferente em projetos web.

Para futuros trabalhos, são apresentadas as seguintes sugestões:

- Aplicabilidade do constante uso de mapas de temperatura em projetos e estudos;
- Soluções que permitam a suavização de curvas de temperatura geradas por meio do TIN:

- Utilização de dados meteorológicos de países vizinhos para análises finais mais profundas das regiões próximas a fronteiras;
- Uso de outros interpoladores para a geração da superfície, como krigagem, curvatura mínima, vizinho mais próximo, triangulação com interpolação linear, médias moveis e polinômio local.
- Para uma comparação final entre produtos de melhor qualidade, recomendase a utilização de estudos estatísticos entre ambos produtos.

REFERÊNCIAS BIBLIOGRÁFICAS

ANDRÉ ZIBETTI – UFSC. **Distribuição Normal (Gaussiana).** Disponível em: https://www.inf.ufsc.br/~andre.zibetti/probabilidade/normal.html. Acesso em 01 ago. 2022.

ASSOCIAÇÃO BRASILEIRA DE NORMAS TÉCNICAS. **NBR 6118**: projeto de estruturas de concreto – procedimento. Rio de Janeiro: ABNT, 2014.

BORGES, R. R. Teoria de valores extremos Aplicada a redes Complexas – Dissertação de Pós-Graduação em Ciências – UEPG, cap 2. p.22–26, 2013. Disponível em: https://tede2.uepg.br/jspui/bitstream/prefix/905/1/Rafael%20Ribaski%20Borges.pdf. Acesso em 16/09/2022.

COELHO, E. C; SOUZA, E. G; OPAZO, M. A. U. **Influência da densidade amostral e do tipo de interpolador em mapas temáticos**. 2021, 10 p. Dissertação (Mestrado em Engenharia Agrícola) – Centro de Ciências Exatas e Tecnológicas, Universidade Estadual do Oeste.

Disponível em https://doi.org/10.4025/actasciagron.v31i1.6645. Acesso em 15 set. 2022.

DE QUEIROZ, F. M. M; CHAUDHRY, H. F. **Análise de eventos hidrológicos extremos, usando-se a distribuição GEV e momentos LH –** Revista Brasileira de Engenharia Agrícola e Ambiental, Campina Grande – PB, v.10, n.2, p.381–389, 2006. Disponível em https://www.scielo.br/j/rbeaa/a/8xLJzWpHrz6ZDhymw3QPgMx/? lang=pt. Acesso em 04 ago. 2022.

DOCS-QGIS – Documentation of Gis Introduction. **Análise Espacial (Interpolação)**.

Disponível

em:

https://docs.qgis.org/2.8/pt_BR/docs/gentle_gis_introduction/spatial_analysis_interpolation.html
. Acesso em 02 ago. 2022.

ESRI – Environmental Systems Research Institute. **Superfície Estatística.** Disponível em: https://support.esri.com/pt-BR/other-resources/gis-dictionary/term/9b5db90c-30cd-4a26-8207-67d92a456f64. Acesso em 04 ago. 2022.

FARIAS, G. O; FRANCISCO, N. C; SENNA, A. C. M. AVALIAÇÃO DE MÉTODOS DE INTERPOLAÇÃO ESPACIAL APLICADOS À PLUVIOSIDADE EM REGIÃO MONTANHOSO NO LITORAL SUL DO ESTADO RIO DE JANEIRO. Revista Brasileira de Climatologia, [S.I.], v. 21, set. 2017. ISSN 2237-8642. Disponível em: https://revistas.ufpr.br/revistaabclima/article/view/52065>. Acesso em: 04 set. 2022.

FISHER, R. A.; TIPPETT, L. H. C. Limiting forms of the frequency distribution of the largest or smallest member of a sample. Proceedings of the Cambridge Philosophical Society, Cambridge, v.24, n.2, 1928, p.180-190.

FM2S. **Análise Weibull**. Disponível em: https://www.fm2s.com.br/analise-weibull/. Acesso em 04 ago. 2022.

INSTITUTO NACIONAL DE METEOROLOGIA. Nota Técnica No 001/2011. Brasília, DF, INMET, 2011.

KOZANIS, S; CHRISTOFIDES, EFSTRATIADIS, A. Description of the data management and processing system "Hydrognomon",Integrated Management of Hydrosystems in Conjunction with an Advanced Information System (ODYSSEUS), Contractor: NAMA, Report 2, 141 pages, **Department of Water Resources, Hydraulic and Maritime Engineering – National Technical University of Athens**, Athens, 2005. Disponível em https://www.itia.ntua.gr/en/docinfo/676/. Acesso em 04 ago. 2022.

LONGLEY, A. P, GOODCHILD, F. M, MAGUIRE, J. D e RHIND, W. D, Modelagem de dados geográficos. In: Paul .A.L, Michael F., David J.M e David D.R. (Org.). **SISTEMAS E CIÊNCIA DA INFORMAÇÃO GEOGRÁFICA**. 3. ed. São Paulo: Bookman, 2013. p. 218-220 e 374-375.

MACHADO, C. E. **A Distribuição Fréchet Generalizada** – Dissertação de Pós-Graduação em Matemática – UFCG, cap 3. p.41–45, 2013. Disponível em: http://dspace.sti.ufcg.edu.br:8080/jspui/bitstream/riufcg/1387/1/ELIZABETE
w20CARDOSO%20MACHADO%20-%20DISSERTAÇÃO%20PPGMAT
w202013.pdf. Acesso em 26/07/2022.

MARTINS, E. S.; STEDINGER, J. R. Generalized maximum-likelihood generalized extreme-value quantile estimators for hydrologic data. Water Resources, Research, Washington, v.36, n.3, p.737-744, 2000. Disponível em: https://www.researchgate.net/publication/252427082_Generalized_Maximum_Likelihood_G EV Quantile Estimators for Hydrologic Data. Acesso em 04/09/2022.

MENSURAÇÃO FLORESTAL. **Weibull: uma função flexível.** Disponível em http://www.mensuracaoflorestal.com.br/weibull-uma-funcao-flexivel. Acesso em 04 ago. 2022.

MOREIRA, R. A. DESENVOLVIMENTO DE MAPAS DE TEMPERATURA PARA A APLICAÇÃO EM PROJETOS DE OBRAS DE ARTE ESPECIAIS COMO CONTRIBUIÇÃO A REVISÃO DA NORMA ABNT NBR 6118. 2022. 152 p, Tese (Doutorado em Engenharia Civil) - UTFPR, Curitiba, 2022.

MITAS, L; MITASOVA, H. **Spatial Interpolation.** In: P.Longley, M.F. Goodchild, D.J. Maguire, D.W.Rhind (Eds.) 1999. p.481-483. Disponível em: http://fatra.cnr.ncsu.edu/ ~hmitaso/gmslab/papers/mitas_mitasova_1999_2005.pdf. Acesso em 10 ago. 2022.

PEREIRA TRINDADE, P. M.; LUDERITZ SALDANHA, D.; PEREIRA FILHO, W. UTILIZAÇÃO DO INFRAVERMELHO TERMAL NA ANÁLISE ESPAÇO TEMPORAL DA TEMPERATURA DE SUPERFÍCIE E ILHAS DE CALOR URBANAS. Revista Brasileira de Cartografia, [S. I.], v. 69, n. 4, 2017. Disponível em: https://seer.ufu.br/index.php/revistabrasileiracartografia/article/view/44338. Acesso em: 4 set. 2022.

QUEIROZ, A. G; NUNES, B. V. A. Influência da variação de temperatura em um edifício de concreto armado com oito pavimentos. 2021. 13 p, Artigo (Graduação em Engenharia Civil)- PUC, Goias, 2021. Disponível em: https://repositorio.pucgoias.edu.br/jspui/bitstream/123456789/2210/1/Influência %20da%20variação%20de%20temperatura%20em%20um%20edifício%20de %20concreto%20armado%20com%208%20pavimentos.pdf. Acesso em: 4 set. 2022.

STATISTICSHOWTO. **Distribuição de Frechet: Definição, Exemplos**. Disponível em: https://www.statisticshowto.com/frechet-distribution/. Acesso em 04 ago. 2022.

SOUSA, M. L.; DIMOVA, S.; PINTO, A. Elaboration of maps for climatic and seismic actions for structural design with the Eurocodes. *In*: JRC Science for Policy Report. Luxembourg, 2016. Disponível em: https://www.google.com/url?sa=t&rct=j&q=&esrc=s&source=web&cd=&ved=2ahUKEwjQzYyss_z5AhUeqJUCHfa
https://www.google.com/url?sa=t&rct=j&q=&esrc=s&source=web&cd=&ved=ahUKEwjQzYyss_z5AhUeqJUCHfa
https://www.google.com/url?sa=t&rct=j&q=&esrc=s&source=web&cd=&ved=ahUKEwjQzYyss_z5AhUeqJUCHfa

STRINGFIXER. **Teoria do Valor Extremo.** Disponível em: https://stringfixer.com/pt/Extreme_value_theory. Acesso em 04 ago. 2022.

STRINGFIXER. **Distribuição de Gumbel.** Disponível em: https://stringfixer.com/pt/Gumbel_distribution. Acesso em 04 ago. 2022.

UMB-NEWS. IHV Researchers Use Climate to Predict Spread of COVID-19.

Disponível em:

https://www.umaryland.edu/news/archived-news/march-2020/researchers-predict-potential-spread-and-seasonality-for-covid-19-.php. Acesso em 04 ago. 2022.

USP – UNIVERSIDADE DE SÃO PAULO. **Distribuição Amostral.** Disponível em: http://www.fau.usp.br/cursos/graduacao/arq_urbanismo/disciplinas/aut0516/ Apostila_2_-_DistribuiCAo_Amostral.pdf . Acesso em 16 ago. 2022.

VOITTO – Escola de Negócios. **Distribuição Normal.** Disponível em: https://www.voitto.com.br/blog/artigo/distribuicao-normal . Acesso em 04 ago. 2022.

APÊNDICE - MAPAS DE TEMPERATURA PARA AS REGIÕES DO BRASIL

Na sequência, são apresentados os mapas de temperatura para cada região do país, utilizando dos dados gerados com o TIN.

Na imagem a seguir (Figura 44), é feita a análise dos dados da região Nordeste, percebendo que a região mais a oeste apresenta maiores temperaturas junto com as regiões próximas a regiões urbanas, com picos de calor na região mais ao interior dos estados, chegando aproximadamente 45°C nesse local.

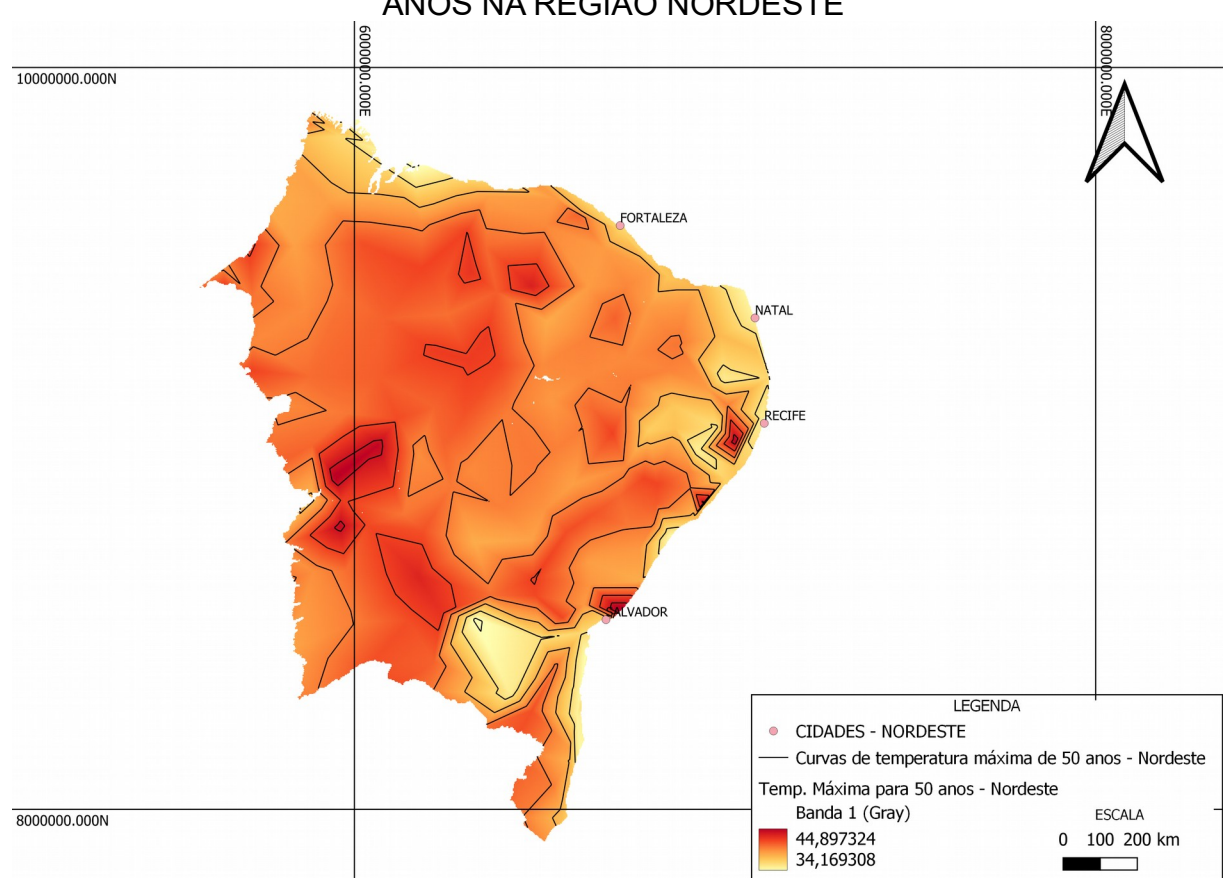


Figura 44:TEMPERATURA MÁXIMA PARA TEMPO DE RECORRÊNCIA DE 50 ANOS NA REGIÃO NORDESTE

Fonte: Autor, (2022)

Já na Figura 45, percebe-se picos de baixas temperaturas em toda a região com uma maior incidência nos locais mais próximo da região sudeste do país. Utilizando curvas a cada 2 em 2 graus nota-se um aglomerado maior de curvas próximas as regiões com menor temperatura, ocorrendo uma variação de 0 até aproximadamente 20°C

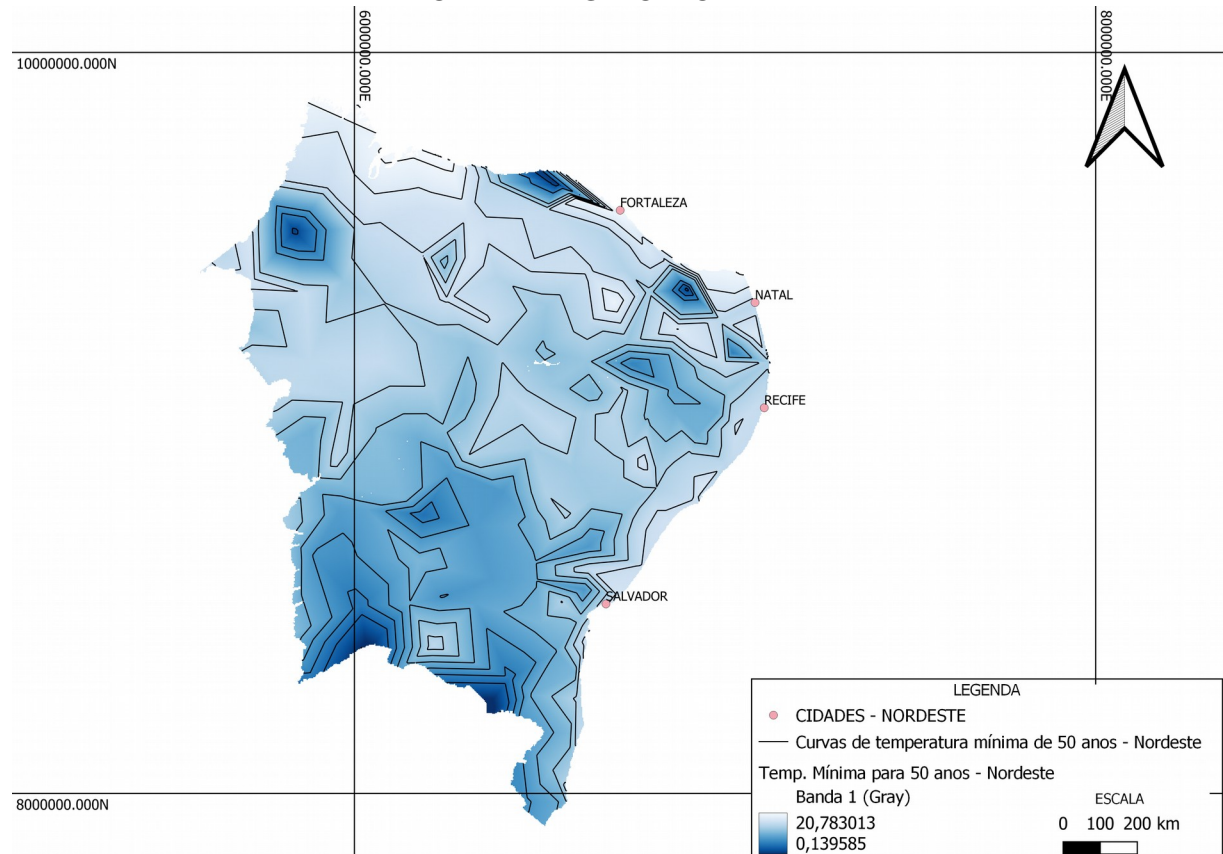


Figura 45:TEMPERATURA MÍNIMA PARA TEMPO DE RECORRÊNCIA DE 50 ANOS NA REGIÃO NORDESTE

Nas Figuras 46 e 47, percebe-se que os resultados gerados para a região nordeste em 100 anos são bem próximos das temperaturas estimadas para 50 anos.

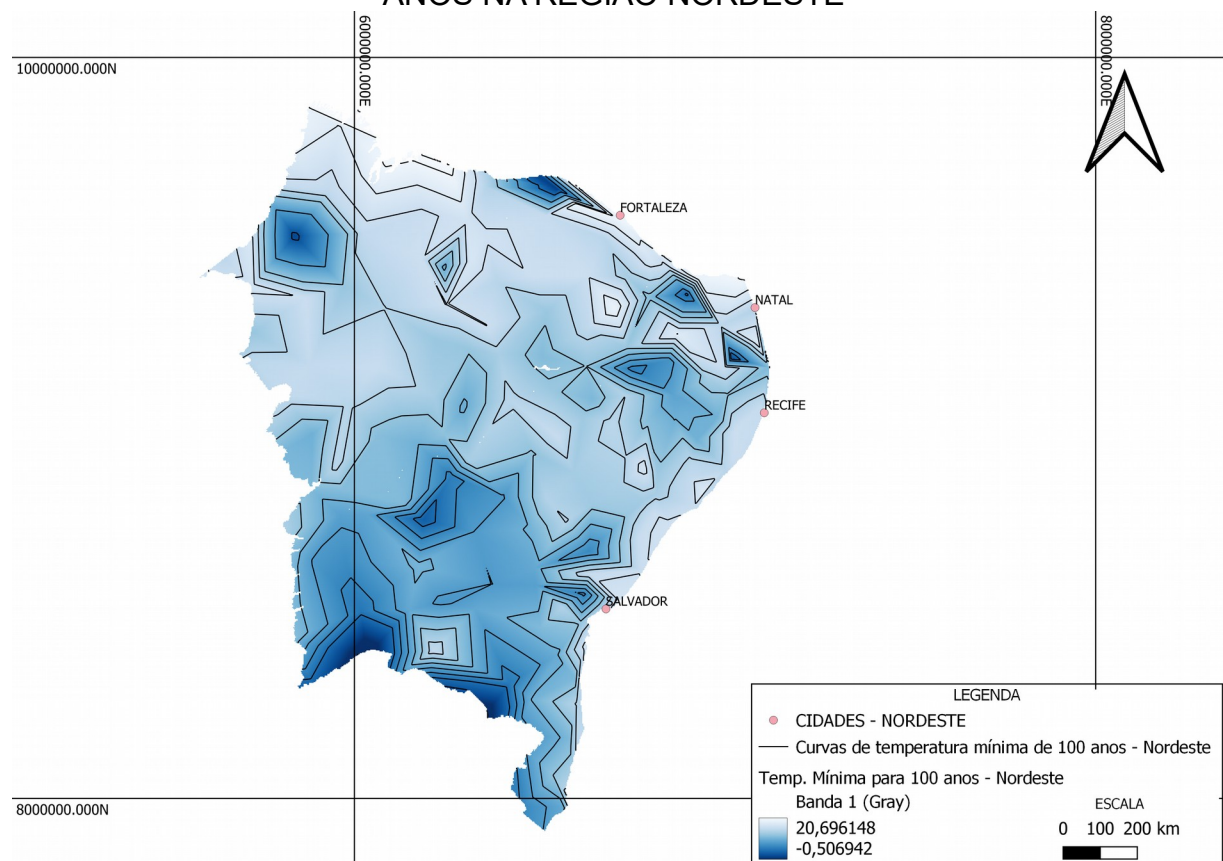


Figura 46: TEMPERATURA MÍNIMA PARA TEMPO DE RECORRÊNCIA DE 100 ANOS NA REGIÃO NORDESTE

Na Figura 46, percebe-se que as regiões apresentam uma pequena queda de temperatura em relação a estimativa de 50 anos, mas ainda apresentando picos de baixa temperatura em algumas regiões, apresentando um intervalo de temperatura de aproximadamente -1°C até 20°C

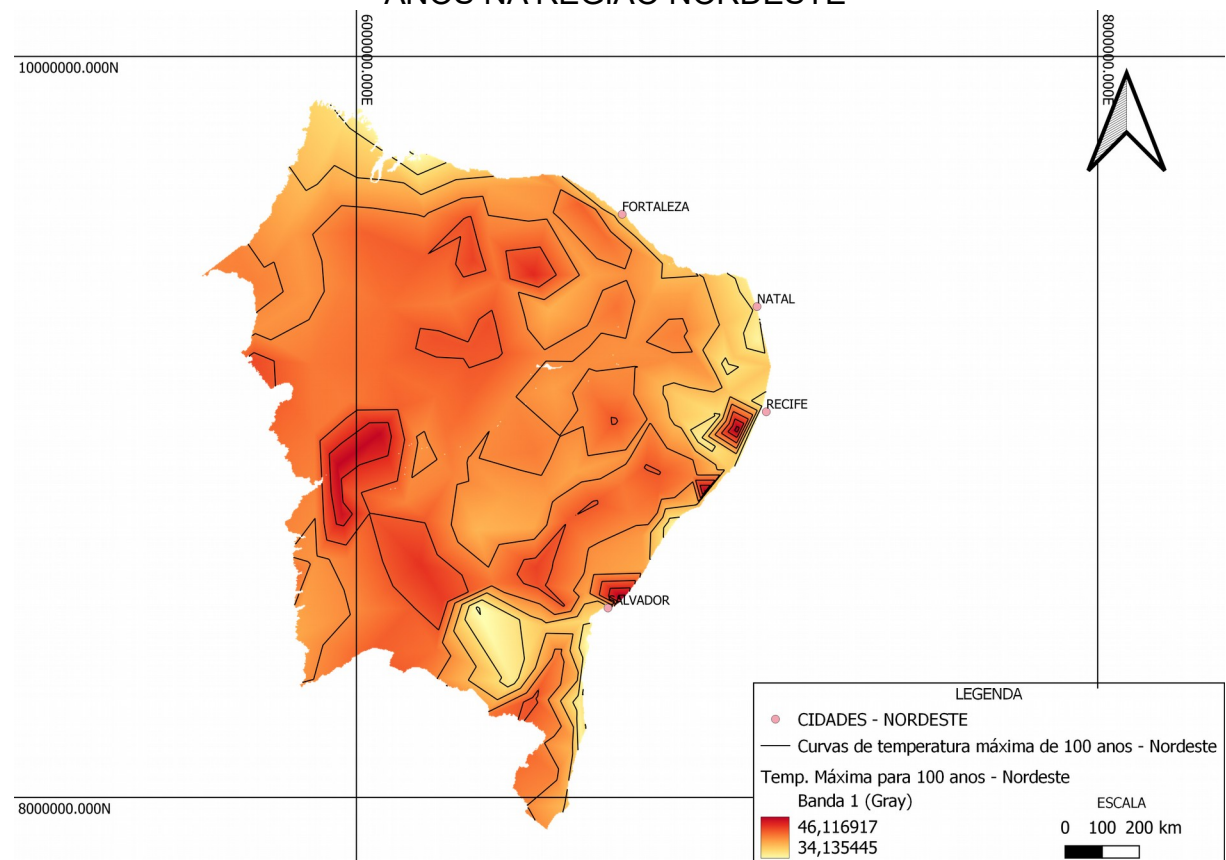


Figura 47: TEMPERATURA MÁXIMA PARA TEMPO DE RECORRÊNCIA DE 100 ANOS NA REGIÃO NORDESTE

Na Figura 47, percebe-se novamente picos de temperatura em regiões próximas a aglomerados urbanos, com a região do sertão com maiores temperaturas. Diferente dos 50 anos de máximo, ocorreu um aumento de temperatura com um intervalo aproximado de 34°C até 46°C.

Das Figuras 48 até 52, encontram-se os mapas para as temperaturas máximas e mínimas de 50 e 100 anos de recorrência para a região Sudeste.

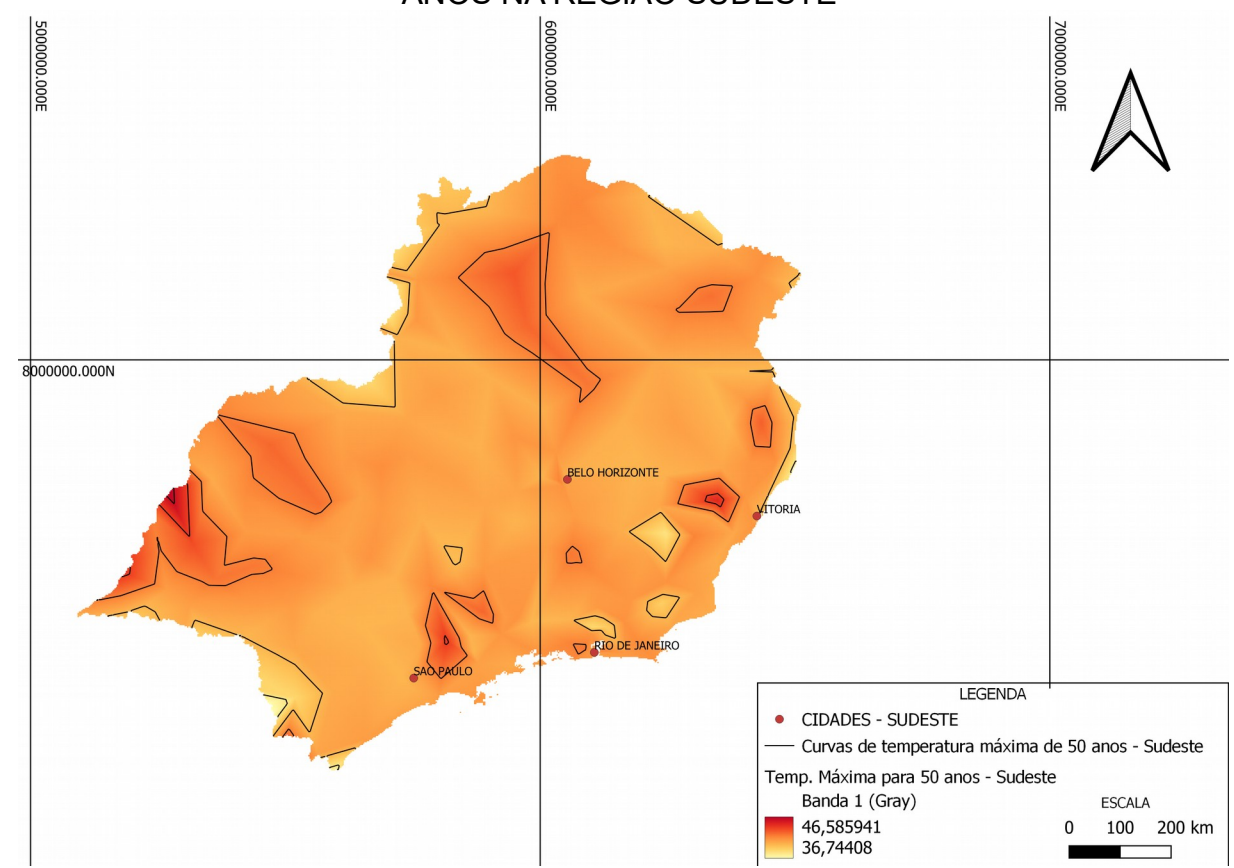


Figura 48:TEMPERATURA MÁXIMA PARA TEMPO DE RECORRÊNCIA DE 50 ANOS NA REGIÃO SUDESTE

É possível visualizar que as temperaturas máximas de 50 anos para a região sudeste (Figura 48) apresentam certa homogeneidade, na maior parte por dados mais distribuídos por toda a região, permitindo que as análises sejam feitas com maior precisão.

Nota-se que as regiões mais a oeste do estado de São Paulo apresentam picos de maior temperatura, visto que é uma região, cuja temperatura é mais elevada. As regiões com maiores temperaturas ficam em torno de 36°C até 46°C.

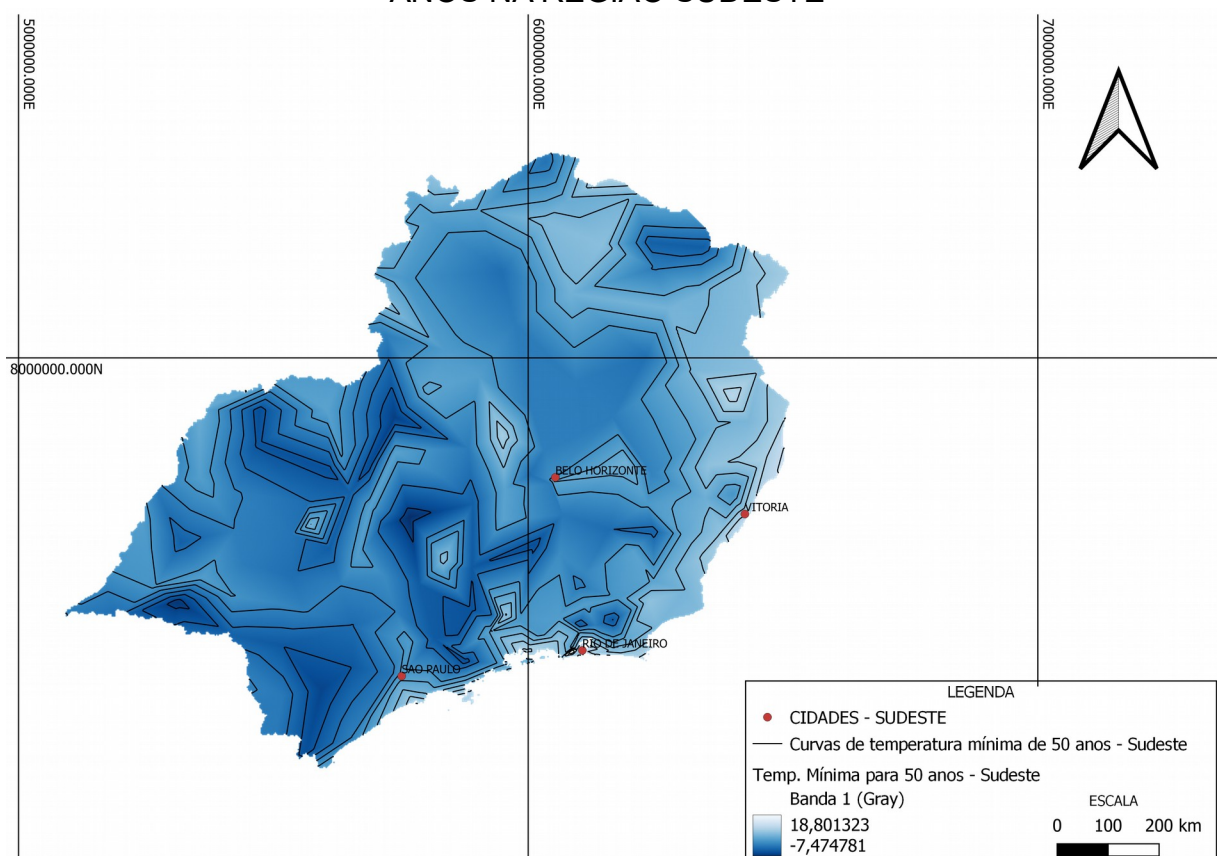


Figura 49:TEMPERATURA MÍNIMA PARA TEMPO DE RECORRÊNCIA DE 50 ANOS NA REGIÃO SUDESTE

Já em relação mapa de temperatura mínima para 50 anos na região Sudeste, percebe-se um aumento no número de curvas de temperatura, indicando que ocorre uma abrupta queda de temperatura em regiões muito próximas, com a menor temperatura registrada em -7°C próximo a São Paulo capital.

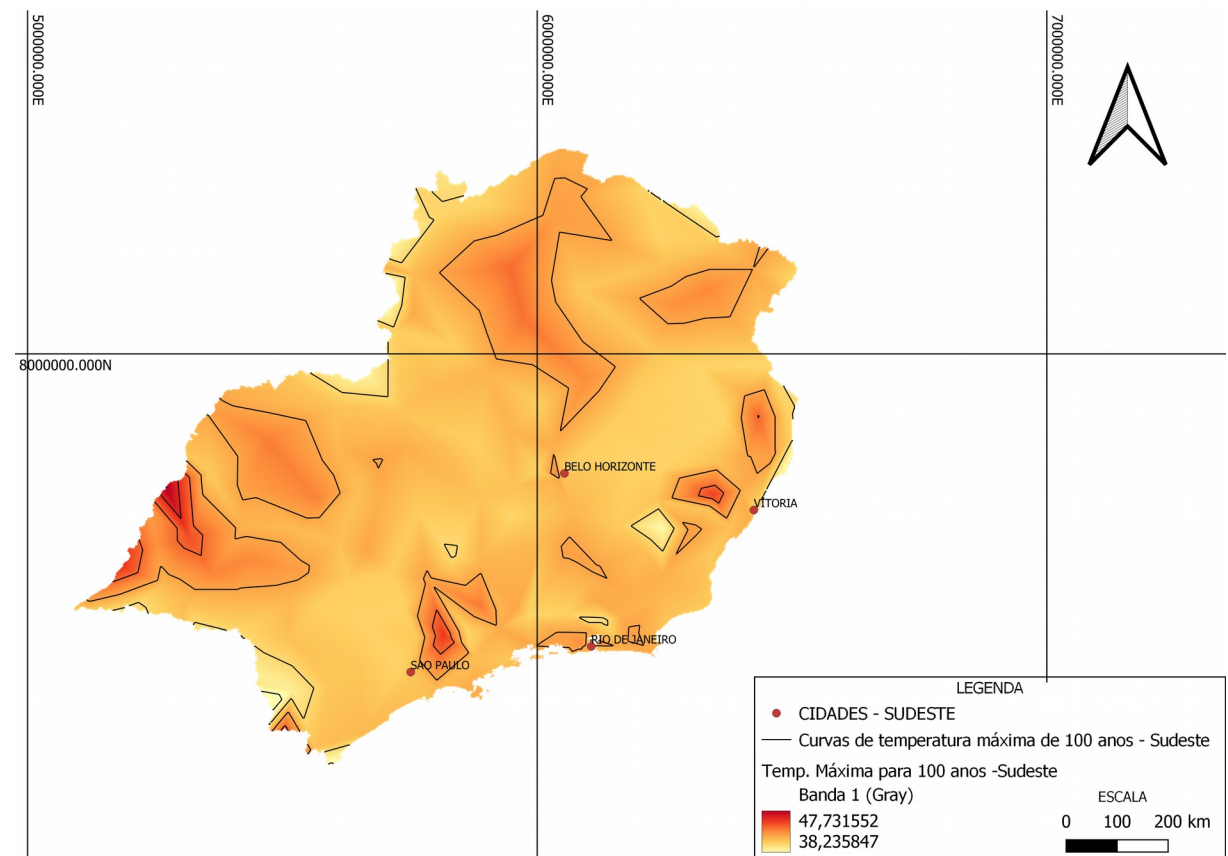


Figura 50:TEMPERATURA MÁXIMA PARA TEMPO DE RECORRÊNCIA DE 100 ANOS NA REGIÃO SUDESTE

Em relação as temperaturas máximas para um período de 100 anos, na Figura 50, nota-se um aumento de temperatura em toda a região, chegando a um aumento de 2 graus Celsius em relação ao intervalo de 50 anos. Já em relação as temperaturas mínimas, presente na Figura 51, percebe-se temperaturas em torno de -7 °C novamente, na região central, com uma diminuição de temperatura em relação ao período de 50 anos.

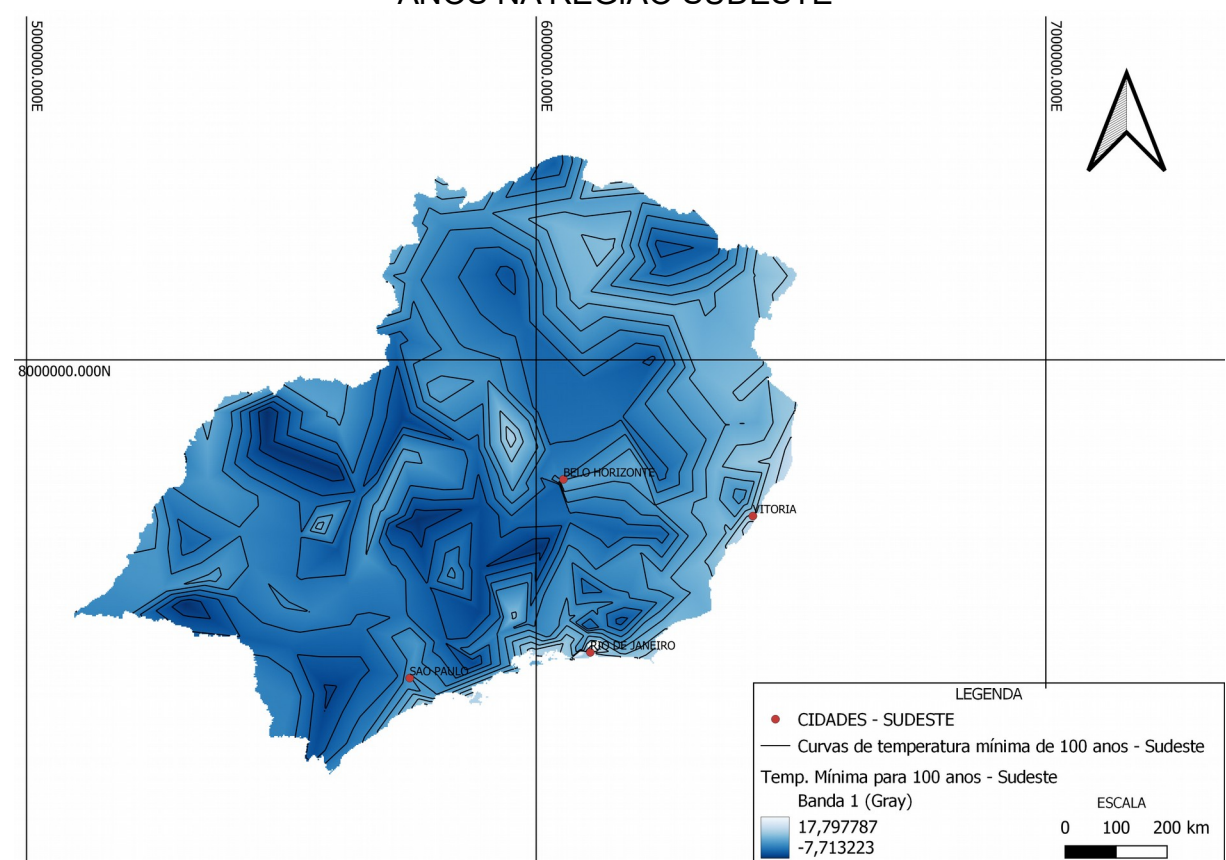


Figura 51: TEMPERATURA MÍNIMA PARA TEMPO DE RECORRÊNCIA DE 100 ANOS NA REGIÃO SUDESTE

Nas Figuras 52 e 53, se encontram os mapas da região Norte do país para os períodos de 50, para as temperaturas máximas e mínimas. Em relação à temperatura máxima para 50 anos, percebe-se que as maiores temperaturas se encontram na proximidade com a região centro-oeste e em torno de aglomerados urbanos, como a cidade Manaus-AM.

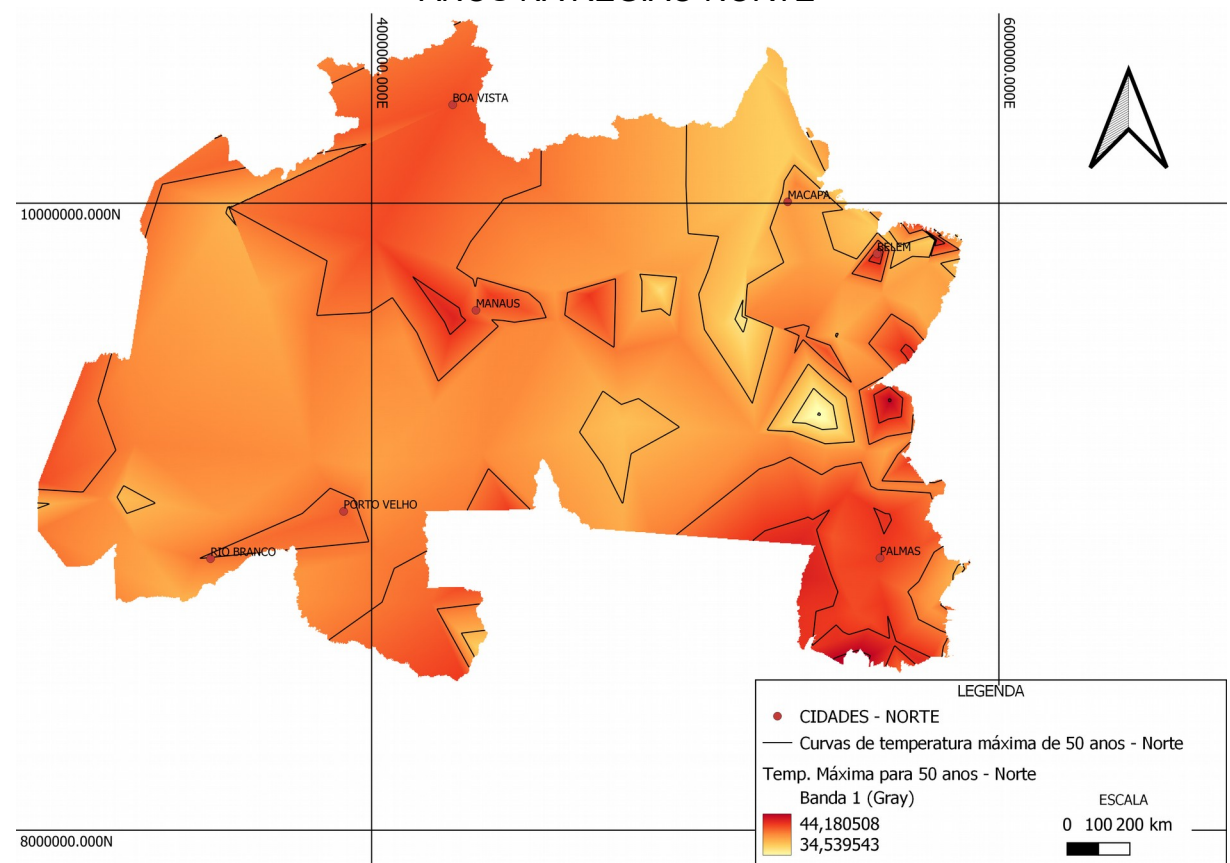


Figura 52: TEMPERATURA MÁXIMA PARA TEMPO DE RECORRÊNCIA DE 50 ANOS NA REGIÃO NORTE

Já em relação das temperaturas mínimas (Figura 53), nota-se que as temperaturas mais baixam se encontram mais próximas da Amazônia, com valores em torno de 5°C. Já a maior temperatura se encontra mais ao norte aproximadamente da capital Macapá-AP.

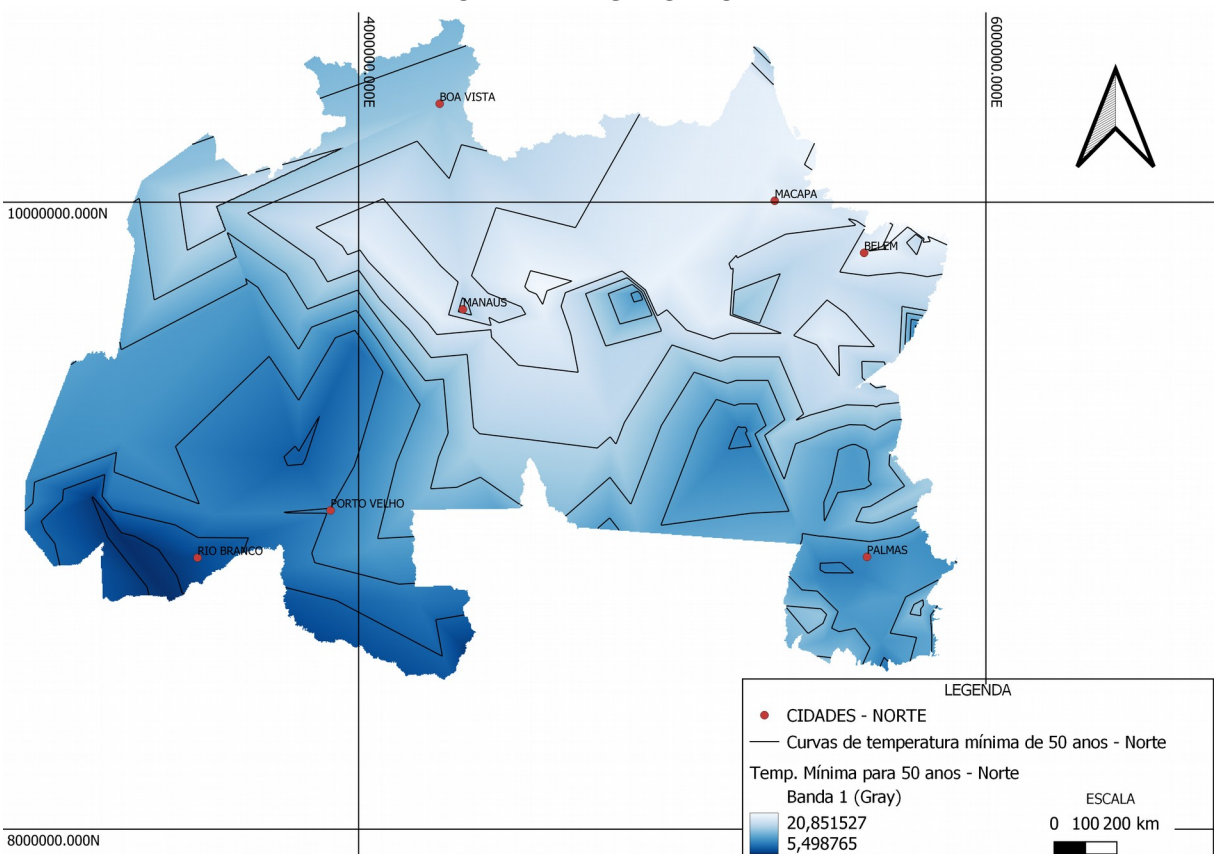


Figura 53: TEMPERATURA MÍNIMA PARA TEMPO DE RECORRÊNCIA DE 50 ANOS NA REGIÃO NORTE

Em relação a expectativa de 100 anos de temperaturas máxima e mínima, presentes na Figura 54 e 55, nota-se um aumento de temperatura máxima relação a temperatura máxima de 50 em torno de 1°C. Novamente regiões de aglomerados urbanos e regiões próximas do centro-oeste brasileiros, são os locais onde se encontram as maiores temperaturas de toda a região.

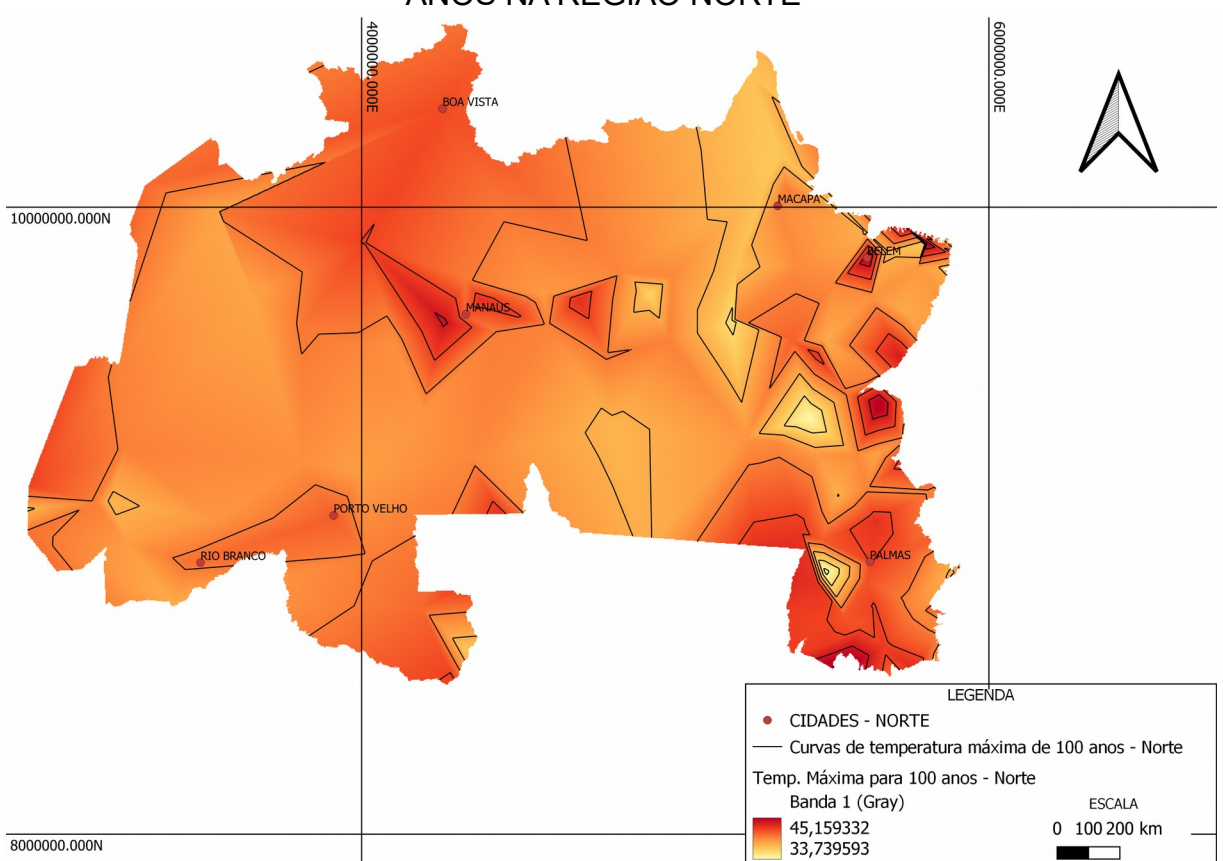


Figura 54: TEMPERATURA MÁXIMA PARA TEMPO DE RECORRÊNCIA DE 100 ANOS NA REGIÃO NORTE

Em relação as temperaturas mínimas, percebe-se uma diminuição das mesmas, de modo que a temperatura abaixou aproximadamente 1°C também nessa ocasião, entre 50 e 100 anos. Sendo assim, percebe-se que as curvas de temperatura acabam englobando uma área maior, indicando uma homogeneidade de temperaturas na região, como pode-se ver próximo a Rio Branco – AC, comparando a Figura 55 com a Figura 53.

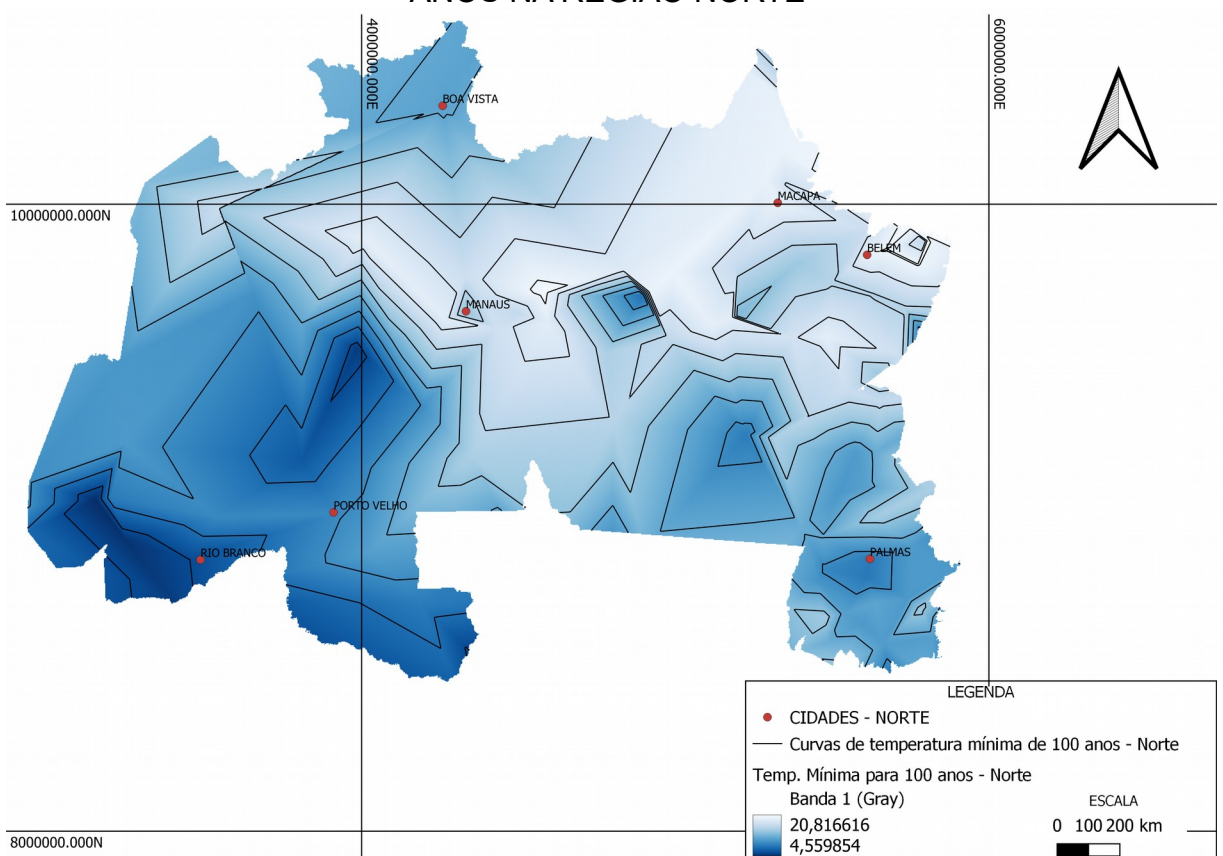


Figura 55: TEMPERATURA MÍNIMA PARA TEMPO DE RECORRÊNCIA DE 100 ANOS NA REGIÃO NORTE

Analisando as Figuras 56 e 57, que diz respeito as temperaturas máximas e mínimas em um período de 50 anos para a região Centro-Oeste, é possível perceber que as maiores temperaturas máximas se encontram na região próxima a Campo Grande-MS e em regiões próximas de Cuiabá-MT, em torne de 46°C. A quantidade de curvas em torno de aglomerados urbanos e ilhas de calor, indicam a diferença abrupta de temperatura entre regiões próximas, como dito em outros casos.

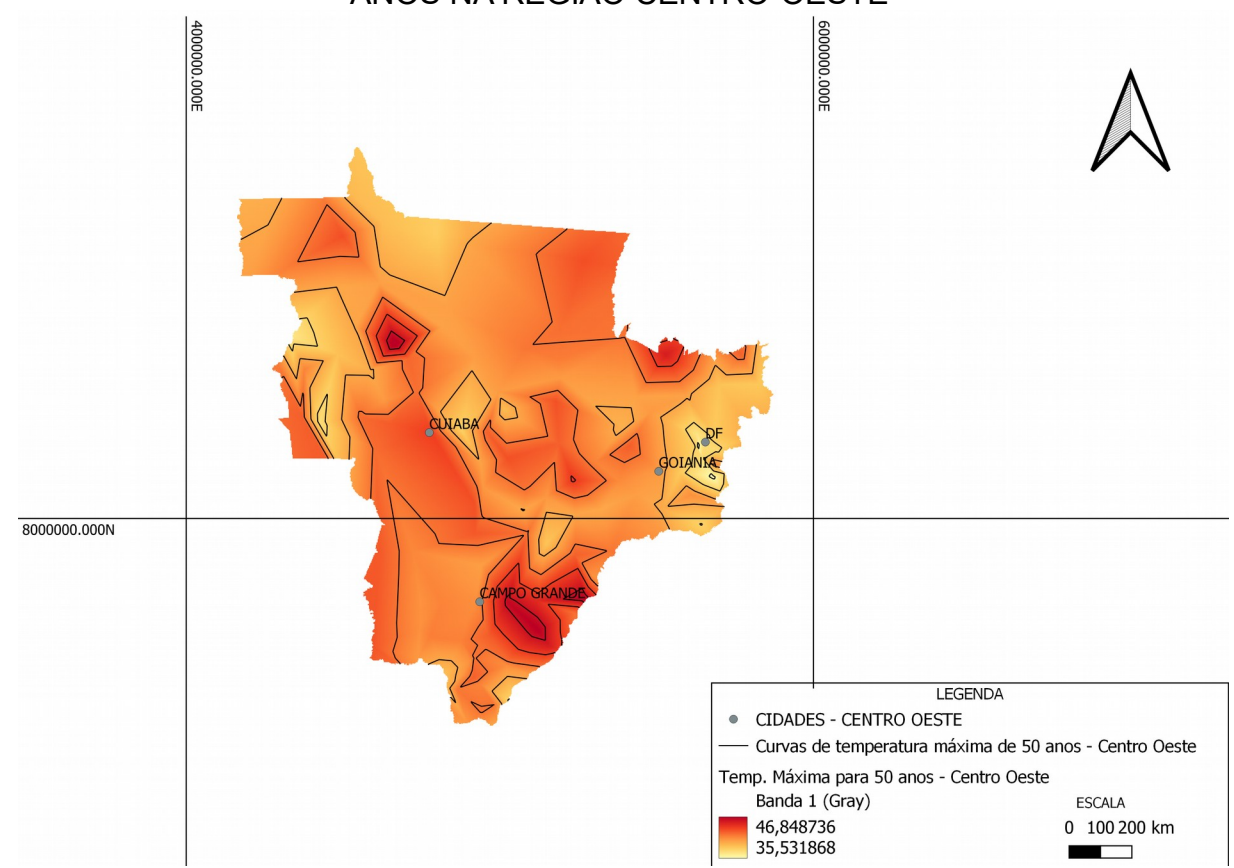


Figura 56: TEMPERATURA MÁXIMA PARA TEMPO DE RECORRÊNCIA DE 50 ANOS NA REGIÃO CENTRO-OESTE

Em relação a temperatura mínima para o período de 50 anos, presente na Figura 57, percebe-se que os menores valores de temperatura se encontram mais próximos da região Sul. Próximo de aglomerados urbanos, existem baixas de temperaturas, chegando em um intervalo aproximado de -2°C até 15°C.

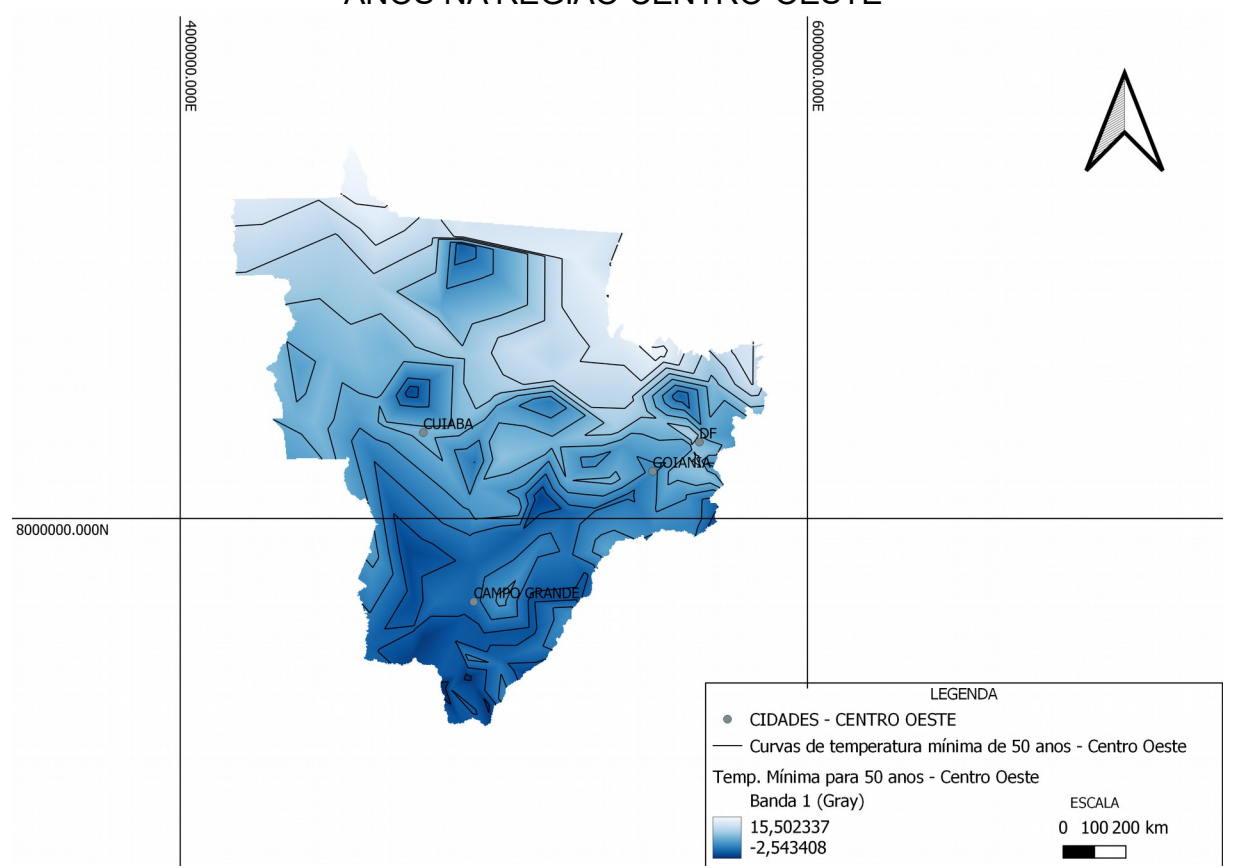


Figura 57: TEMPERATURA MÍNIMA PARA TEMPO DE RECORRÊNCIA DE 50 ANOS NA REGIÃO CENTRO-OESTE

Nas Figuras 58 e 59, estão disponibilizadas as temperaturas máximas e mínimas para o período de 100 anos. De forma geral é possível notar um aumento das temperaturas máximas em todo Centro-Oeste, com índices ainda mais elevados em regiões urbanas.

Na Figura 59 é possível notar um aumento dos valores de temperatura em toda região.

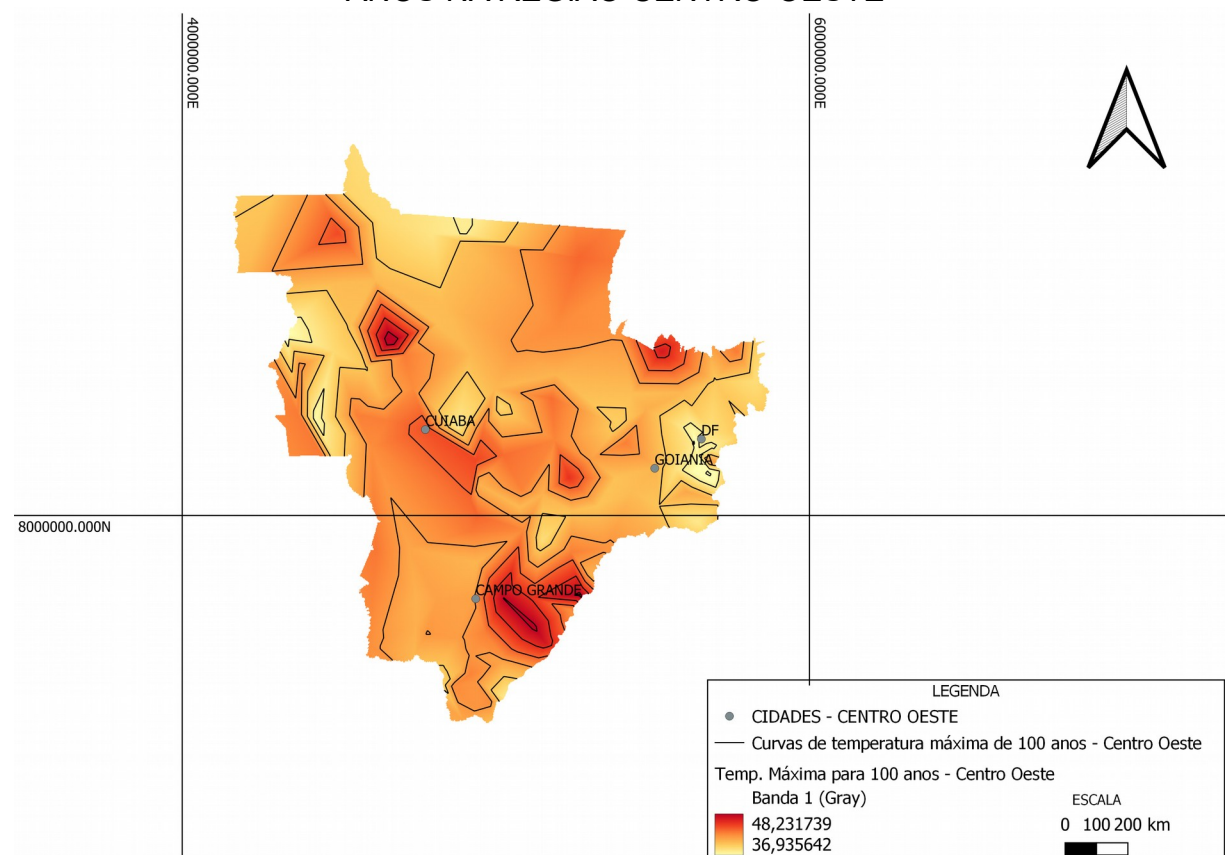


Figura 58: TEMPERATURA MÁXIMA PARA TEMPO DE RECORRÊNCIA DE 100 ANOS NA REGIÃO CENTRO-OESTE

Como dito anteriormente, ocorre um aumento de temperatura em toda a região Centro-Oeste, existindo uma diferença de aproximadamente 6°C entre 50 e 100 anos de recorrência mínima, como pode-se visualizar na Figura 59.

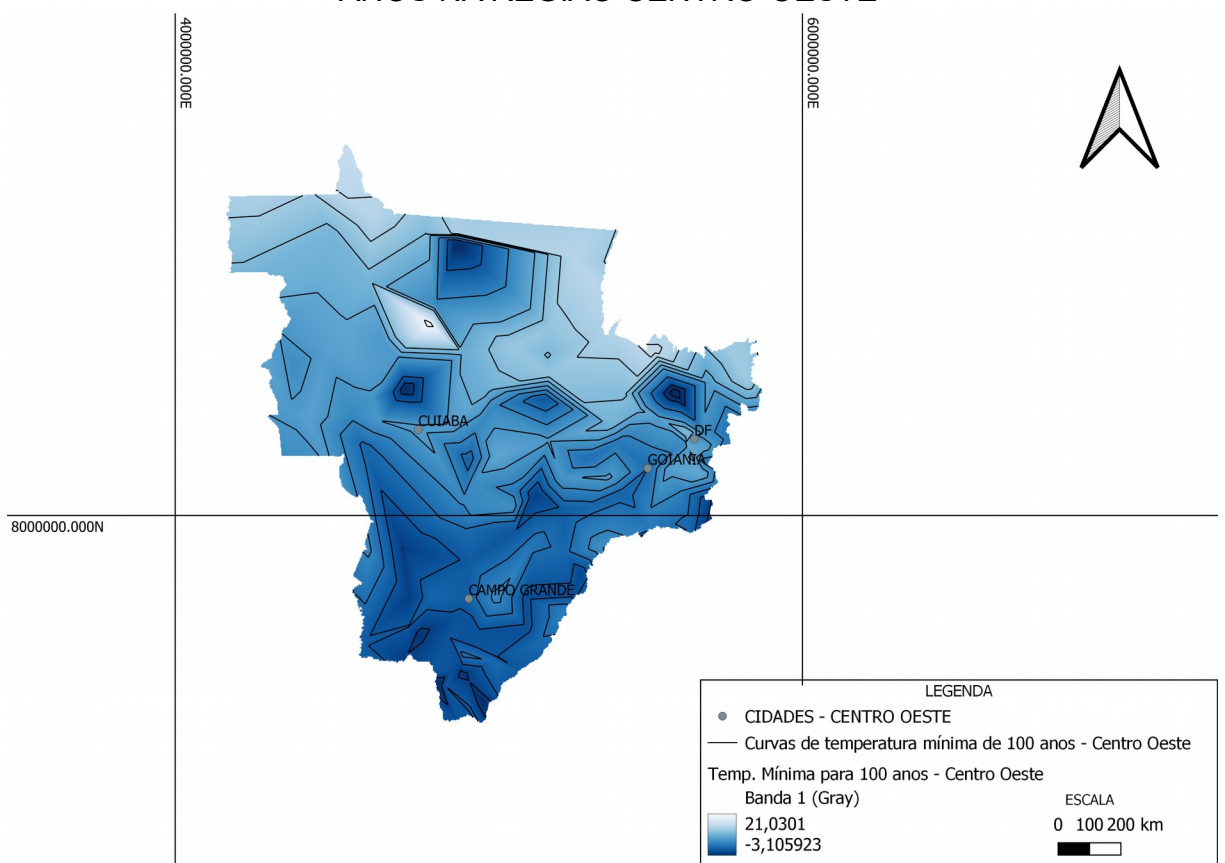


Figura 59: TEMPERATURA MÍNIMA PARA TEMPO DE RECORRÊNCIA DE 100 ANOS NA REGIÃO CENTRO-OESTE

Por fim, as Figuras 60 e 63 apresentam a representação da região Sul com suas temperaturas máximas e mínimas em um tempo de ocorrência de 50 anos.

A temperatura máxima para o período de 50 anos, como dito no item 3.3.2, apresenta temperaturas elevadas na região nordeste do Paraná, assim como, temperaturas elevadas na região oeste e leste dos estados, com temperaturas variando entre 26°C e 46°C.

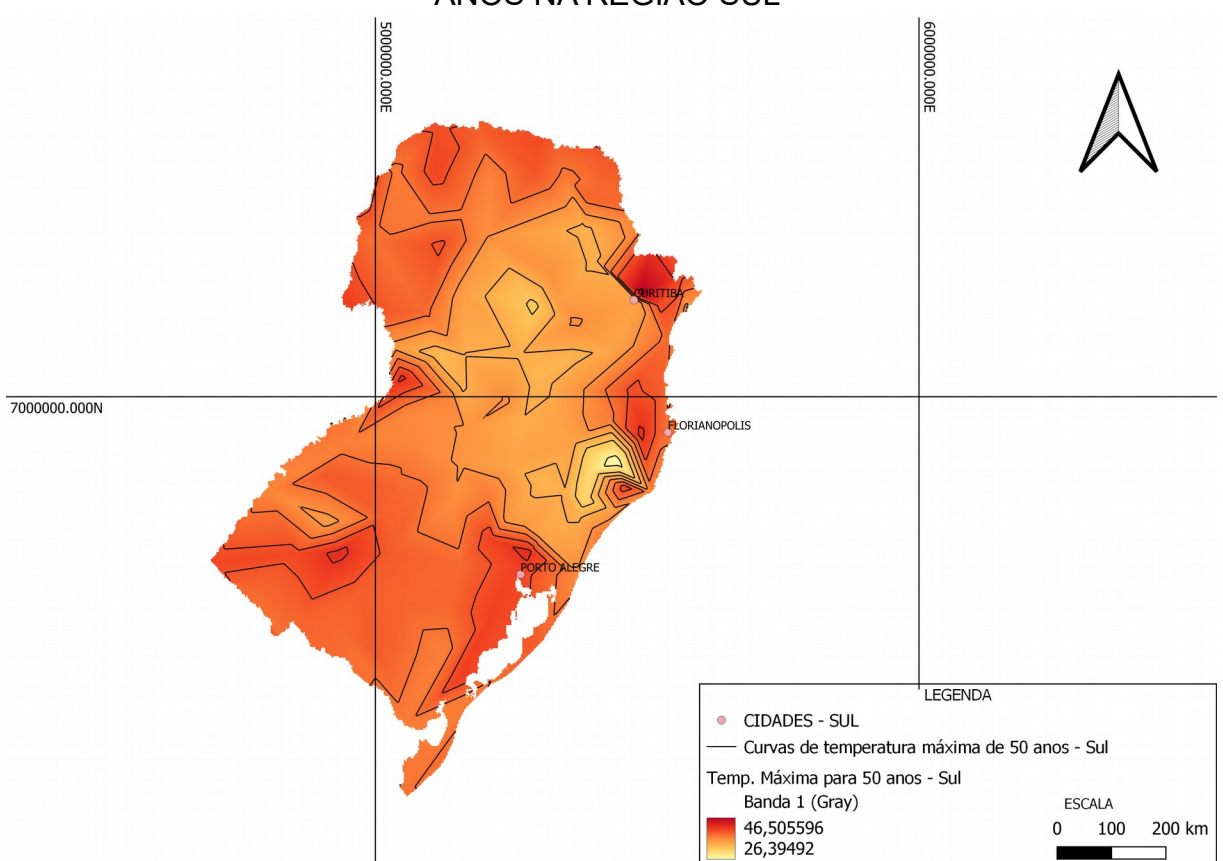


Figura 60: TEMPERATURA MÁXIMA PARA TEMPO DE RECORRÊNCIA DE 50 ANOS NA REGIÃO SUL

Nas Figuras 61 e 63, é possível notar que ocorre um espaçamento menor entre das curvas de temperatura, sendo apresentadas de 1 em 1 grau. Foi utilizado esse espaço, devido à baixa variação de temperatura em toda região, chegando próximo de 7 graus entre índice maior e índice menor. Na Figura 59, percebe-se que as baixas temperaturas estão mais presentes na região oeste do Rio Grande do Sul e Nordeste do Paraná, próximo de Curitiba.

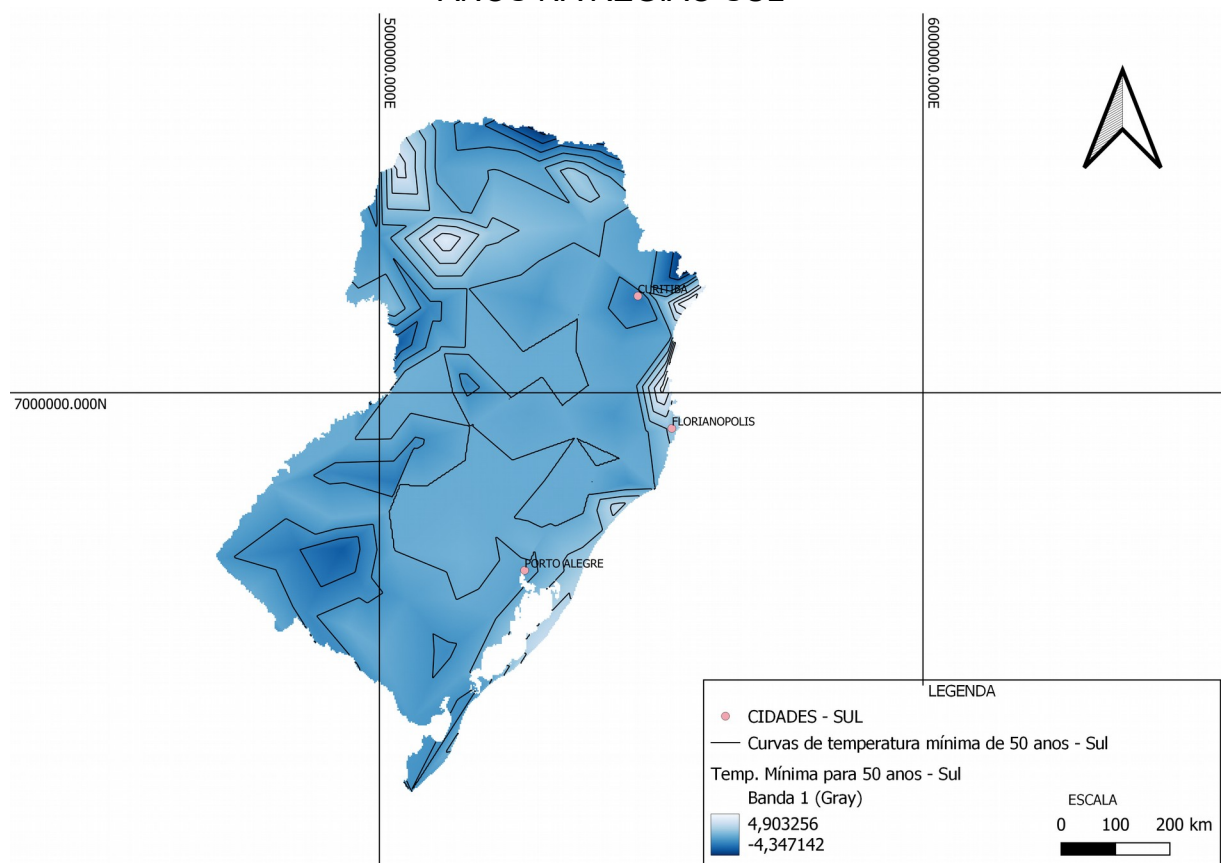


Figura 61: TEMPERATURA MÍNIMA PARA TEMPO DE RECORRÊNCIA DE 50 ANOS NA REGIÃO SUL

Comparando as temperaturas máximas de ambos tempos de ocorrências, nota-se um aumento de temperatura em toda a região sul, mas seguindo o mesmo padrão de temperatura com altos índices na região oeste e leste, com picos de alta temperatura próximo a Curitiba-PR.

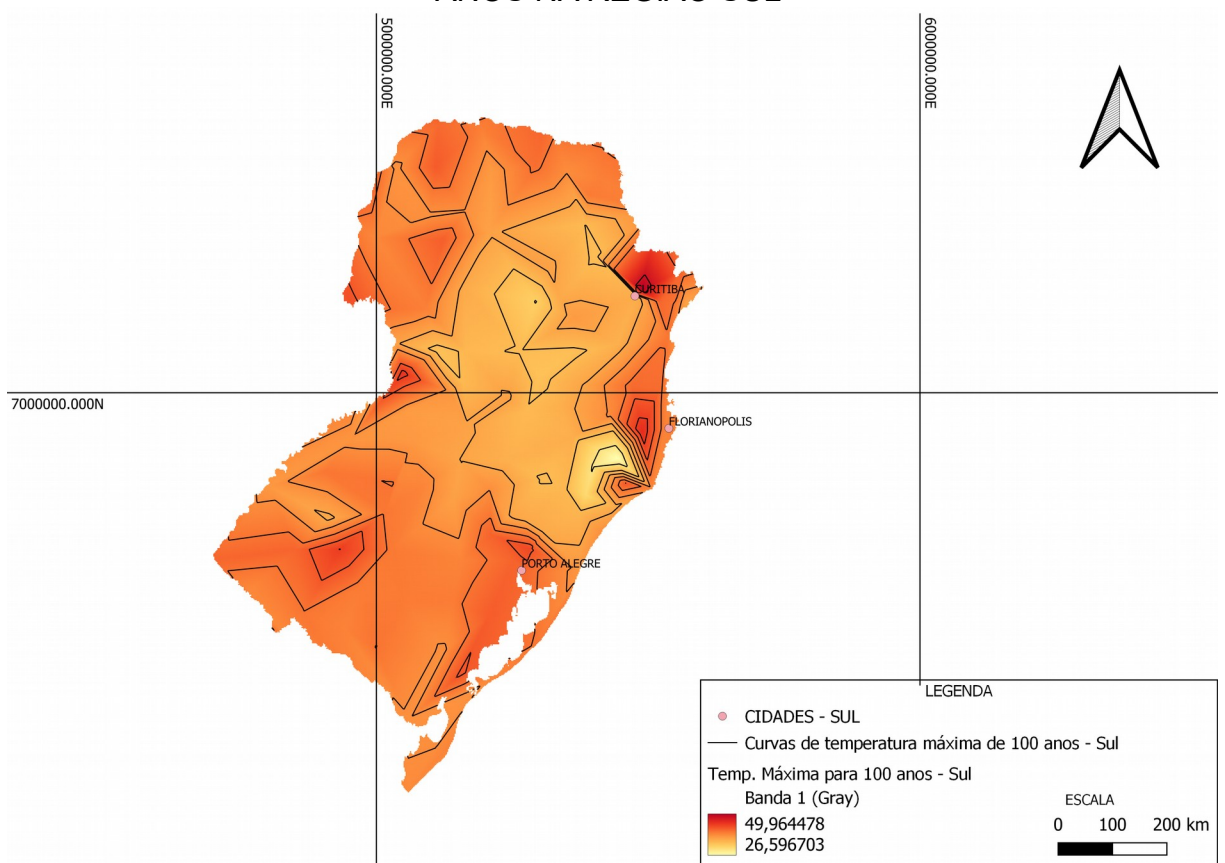


Figura 62: TEMPERATURA MÁXIMA PARA TEMPO DE RECORRÊNCIA DE 100 ANOS NA REGIÃO SUL

Por fim, na Figura 63, fazendo a comparação entre as recorrências de 50 e 100 anos para a temperatura mínima, percebe-se uma diminuição dos valores na região oeste do Rio Grande do Sul e Paraná, norte e nordeste do Paraná, indicando que esses lugares apresentam as menores temperaturas, portanto seguindo o mesmo padrão das temperaturas de 50 anos.

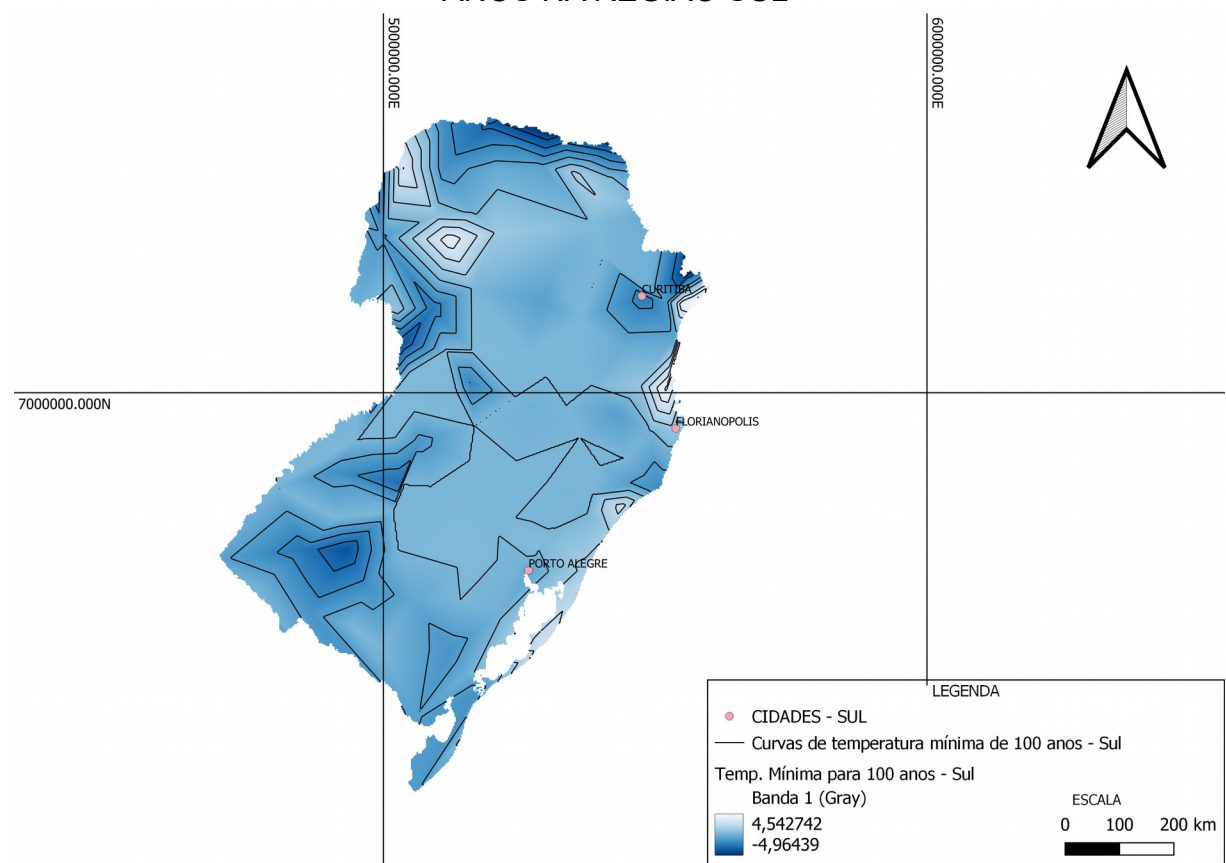


Figura 63:TEMPERATURA MÍNIMA PARA TEMPO DE RECORRÊNCIA DE 100 ANOS NA REGIÃO SUL